



รายงานผลการวิจัย

เรื่อง

การศึกษาปฏิกิริยาโฟโตแคตตาไลติกส์ของผงบิสมัชوانาเดต ที่เตรียมโดย
วิธีไมโครเวฟ เพื่อใช้ในการถ่ายตัวของสารกำจัดแมลงเมทโฉมิด
จากแหล่งน้ำธรรมชาติ

The study of photocatalytic of bismuth vanadate powder prepared by
microwave method for degradation of methomyl insecticide
from natural water source

โดย

ภูสิต ปุกมณี และ จิราภรณ์ กิติกุล

มหาวิทยาลัยแม่โจ้

2557

รหัสโครงการวิจัย นจ.1-56-015



รายงานผลการวิจัย

เรื่อง การศึกษาปฏิกิริยาโพโตแคตตาไลทิกส์ของผงบิสมัชوانาเดต ที่เตรียมโดยวิธีไมโครเวฟ
เพื่อใช้ในการถ่ายตัวของสารกำจัดแมลงเมทโซมิลจากแหล่งน้ำธรรมชาติ

The study of photocatalytic of bismuth vanadate powder prepared by microwave
method for degradation of methomyl insecticide from natural water source

ได้รับการจัดสรรงบประมาณวิจัย

ประจำปี 2556

จำนวน 348,500 บาท

หัวหน้าโครงการ

ภูสิต ปุกมณี

ผู้ร่วมโครงการ

จิราภรณ์ กิติกุล

งานวิจัยและสืบสานสมบูรณ์

30/ก.ย./2557

กิตติกรรมประกาศ

โครงการวิจัยเรื่อง การศึกษาปฏิกิริยาโพโตแอดาไลติกส์ของผงบิสมัทวนาเดต ที่เตรียมโดยวิธีไมโครเวฟ เพื่อใช้ในการสลายตัวของสารกำจัดแมลงเมทโซมิลจากแหล่งน้ำธรรมชาติ (The study of photocatalytic of bismuth vanadate powder prepared by microwave method for degradation of methomyl insecticide from natural water source) ได้สำเร็จลุล่วง โดยได้รับทุนอุดหนุนการวิจัย จากสำนักวิจัยและส่งเสริมวิชาการการเกษตร มหาวิทยาลัยแม่โจ้ ประจำปี 2556

คณบดีวิจัย ขอขอบคุณ สาขาวิชาเคมี คณะวิทยาศาสตร์ มหาวิทยาลัยแม่โจ้ ที่การสนับสนุนอนุเคราะห์การใช้เครื่องมือวิทยาศาสตร์ อุปกรณ์และสถานที่ ตลอดระยะเวลาการทำงานวิจัยนี้

คณบดีวิจัย ขอขอบพระคุณ บุคลากร สาขาวิชาเคมี คณะวิทยาศาสตร์ มหาวิทยาลัยแม่โจ้ ที่อำนวยความสะดวกทางด้านอุปกรณ์และสารเคมี รวมทั้งช่วยประสานงานในด้านเอกสารงานราชการ ในการติดต่อหน่วยงานที่เกี่ยวข้องกับการทำงานวิจัยนี้

คณบดีวิจัย

สารบัญ

	หน้า
กิตติกรรมประกาศ	ก
สารบัญ	ข
สารบัญตาราง	ค
สารบัญภาพ	ง
บทคัดย่อ	๑
Abstract	๒
คำนำ	๓
วัตถุประสงค์ของการวิจัย	๑๘
ประโยชน์ที่คาดว่าจะได้รับ	๑๘
การตรวจเอกสาร	๑๙
อุปกรณ์และวิธีการ	๒๑
ผลการวิจัย	๒๘
สรุปและวิจารณ์ผลการวิจัย	๔๕
เอกสารอ้างอิง	๔๙

สารบัญตาราง

	หน้า	
ตารางที่ 1	บริษัณและมูลค่าการนำเข้าสารกำจัดศัตรูพืช ปี 2545-2552	3
ตารางที่ 2	สมบัติทางกายภาพของบิสมัชوانาเดต	7
ตารางที่ 3	การเปรียบเทียบวิธีการเตรียมวัสดุโพโตแคนตาไลติกส์	12
ตารางที่ 4	สารเคมีที่ใช้ในการวิจัย	21
ตารางที่ 5	เครื่องมือและอุปกรณ์ที่ใช้ในการวิจัย	22
ตารางที่ 6	สภาวะการทำงานของเครื่องโคลรมາโทกราฟของเหลวสมรรถนะสูง	26
ตารางที่ 7	สัดส่วนปริมาตรของเฟสระหัวงโนนคลินิกกับเตตระ โภนอลของ บิสมัชوانาเดตที่เตรียมโดยวิธีไมโครเวฟ กำลังไฟฟ้า 600 วัตต์ เวลา 2, 4 และ 6 นาที	29
ตารางที่ 8	สัดส่วนปริมาตรของเฟสระหัวงโนนคลินิกกับเตตระ โภนอลของ บิสมัชوانาเดตที่เตรียมโดยวิธีไมโครเวฟ กำลังไฟฟ้า 700 วัตต์ เวลา 2, 4 และ 6 นาที	31
ตารางที่ 9	สัดส่วนปริมาตรของเฟสระหัวงโนนคลินิกกับเตตระ โภนอลของ บิสมัชوانาเดตที่เตรียมโดยวิธีไมโครเวฟ กำลังไฟฟ้า 800 วัตต์ เวลา 2, 4 และ 6 นาที	32
ตารางที่ 10	การสลายตัวของสารเมทโซมิล โดยบิสมัชوانาเดตที่ เตรียมโดยวิธีไมโครเวฟ	43

สารบัญภาพ

	หน้า
ภาพที่ 1 โครงสร้างโมโนคลินิกของบิสมัชวนาเดต	6
ภาพที่ 2 กลไกการเกิดคลื่นไมโครเวฟ	11
ภาพที่ 3 โครงสร้างทางเคมีของเมทโอมิล (Metholmyl)	13
ภาพที่ 4 ปฏิกิริยาโพโตแคตาไอลติกส์และโพโตเคมี	15
ภาพที่ 5 กลไกการกำจัดคลอร์ฟีนอล ด้วยปฏิกิริยาโพโตแคตาไอลติกส์ ของบิสมัชวนาเดต ภายใต้การฉายแสงวิสิเบิล	16
ภาพที่ 6 รูปแบบ XRD ของบิสมัชวนาเดตที่เตรียมโดยวิธีไมโครเวฟ ที่กำลังไฟฟ้า 600 วัตต์ เวลา (ก) 2 (ข) 4 และ (ค) 6 นาที	29
ภาพที่ 7 รูปแบบ XRD ของบิสมัชวนาเดตที่เตรียมโดยวิธีไมโครเวฟ ที่กำลังไฟฟ้า 700 วัตต์ เวลา (ก) 2 (ข) 4 และ (ค) 6 นาที	30
ภาพที่ 8 รูปแบบ XRD ของบิสมัชวนาเดตที่เตรียมโดยวิธีไมโครเวฟ ที่กำลังไฟฟ้า 800 วัตต์ เวลา (ก) 2 (ข) 4 และ (ค) 6 นาที	32
ภาพที่ 9 SEM ของบิสมัชวนาเดตที่เตรียมโดยวิธีไมโครเวฟ ที่กำลังไฟฟ้า 600 วัตต์ เวลา (ก) 2 (ข) 4 และ (ค) 6 นาที	34
ภาพที่ 10 SEM ของบิสมัชวนาเดตที่เตรียมโดยวิธีไมโครเวฟ ที่กำลังไฟฟ้า 700 วัตต์ เวลา (ก) 2 (ข) 4 และ (ค) 6 นาที	35
ภาพที่ 11 SEM ของบิสมัชวนาเดตที่เตรียมโดยวิธีไมโครเวฟ ที่กำลังไฟฟ้า 800 วัตต์ เวลา (ก) 2 (ข) 4 และ (ค) 6 นาที	36
ภาพที่ 12 FTIR สเปกตรัมของบิสมัชวนาเดตที่เตรียมโดยวิธีไมโครเวฟ กำลังไฟฟ้า 600 วัตต์ เวลา (ก) 2 (ข) 4 และ (ค) 6 นาที	37
ภาพที่ 13 FTIR สเปกตรัมของบิสมัชวนาเดตที่เตรียมโดยวิธีไมโครเวฟ กำลังไฟฟ้า 700 วัตต์ เวลา (ก) 2 (ข) 4 และ (ค) 6 นาที	38
ภาพที่ 14 FTIR สเปกตรัมของบิสมัชวนาเดตที่เตรียมโดยวิธีไมโครเวฟ กำลังไฟฟ้า 800 วัตต์ เวลา (ก) 2 (ข) 4 และ (ค) 6 นาที	39
ภาพที่ 15 รูป EDS ของบิสมัชวนาเดตที่เตรียมโดยวิธีไมโครเวฟ ที่กำลังไฟฟ้า 600 วัตต์ เวลา (ก) 2 และ (ข) 6 นาที	40

สารบัญภาพ

หน้า

ภาพที่ 16	กราฟมาตรวัดฐานสารละลายนมโชมิล	41
ภาพที่ 17	การสลายตัวของสารละลายนมโชมิลโดยผงบิสมัชวนานาเดต ที่เตรียมโดยวิธีไมโครเวฟกำลังไฟฟ้า 600 วัตต์ ที่เวลา ^(ก) ปราศจากผงบิสมัชวนานาเดต (ข) 2 นาที และ (ค) 6 นาที	42

**การศึกษาปฏิกิริยาฟ็อกแคต้าไลติกส์ของผงบิสมัชванาเดต ที่เตรียมโดยวิธีไมโครเวฟ
เพื่อใช้ในการถลายน้ำของสารกำจัดแมลงเมทโซมิลจากแหล่งน้ำธรรมชาติ**

**The study of photocatalytic of bismuth vanadate powder prepared by microwave
method for degradation of methomyl insecticide from natural water source**

ภูสิต ปุกมนี จิราภรณ์ กิติกุล

Pusit Pookmanee Jiraporn Kitikul

สาขาวิชาเคมี คณะวิทยาศาสตร์ มหาวิทยาลัยแม่โจ้ จังหวัดเชียงใหม่

Department of Chemistry, Faculty of Science, Maejo University, ChiangMai

บทคัดย่อ

การเตรียมผงบิสมัชванาเดต โดยวิธีไมโครเวฟ ที่กำลังไฟฟ้า 600 วัตต์ เป็นเวลา 2 และ 6 นาที สารตั้งต้นที่ใช้คือ บิสมัชในเกรด เพนตะไออกเตต์ แอมโมเนียมนานาเดต และ 2-โพรฟานอล ได้ผงละเอียดสีเหลืองและทำการอบที่อุณหภูมิ 100 องศาเซลเซียส เป็นเวลา 24 ชั่วโมง ทำการศึกษาโครงสร้างของผงบิสมัชванาเดต โดยเครื่องเอกซเรย์ฟเฟรนต์มิเตอร์ (XRD) พบว่า มีโครงสร้างสมควรห่วง โดยโครงสร้างแบบโนโนคลินิกและเตตระโภนอล การตรวจสอบลักษณะทางสัมฐานวิทยาโดยกล้องจุลทรรศน์อิเล็กตรอนแบบส่องการดู (SEM) พบว่า มีรูปร่างอนุภาคที่ไม่แน่นอน และมีขนาดอนุภาคอยู่ในช่วง 0.1-0.3 ไมโครเมตร การศึกษาทางค์ประกอบทางเคมี โดยเครื่องวัดการกระจายพลังงานสเปกโทรมิเตอร์ (EDS) พบว่า ประกอบด้วยธาตุบิสมัช ธาตุนานาเดียม และธาตุออกซิเจน ตามลำดับ ทำการตรวจสอบหมู่ฟังก์ชันของผงบิสมัชванาเดต โดยเครื่องฟูเรียร์ทารานสฟอร์มอินฟารेकสสเปกโทรมิเตอร์ (FTIR) พบว่า มีหมู่ฟังก์ชันของ Bi-O และ VO_4^{3-} การศึกษาการถลายน้ำของเมทโซมิล โดยผงบิสมัชванาเดตที่เตรียมโดยวิธีไมโครเวฟ โดยเครื่องโคมมาโทกราฟของเหลวสมรรถนะสูง (HPLC) พบว่า ผงบิสมัชванาเดต ที่กำลังไฟฟ้า 600 วัตต์ เวลา 2 นาที ปริมาณ 0.1000 กรัม มีประสิทธิภาพในการถลายตัวของเมทโซมิลได้สูงที่สุด

คำสำคัญ: ปฏิกิริยาฟ็อกแคต้าไลติกส์ ผงบิสมัชванาเดต วิธีไมโครเวฟ เมทโซมิล

ABSTRACT

Bismuth vanadate (BiVO_4) powder was prepared by microwave method irradiation power at 600 Watt for 2 and 6 min. Bismuth nitrate pentahydrate, ammonium metavanadate and 2-propanol were used as the starting precursors. The fine yellow powder was obtained and dried at 100 °C for 24h. The structure of BiVO_4 powder was determined by X-ray diffractometer (XRD). Multi-phase of monoclinic and tetragonal phase was obtained without calcination step. Morphology of BiVO_4 powder was investigated by scanning electron microscope (SEM). The particle was irregular in shape with the range of particle size of 0.1-0.3 μm . The element composition of BiVO_4 powder was indicated by energy dispersive X-ray spectrometer (EDS). The characteristic X-ray radiation of each element had different energy values; bismuth, vanadium and oxygen, respectively. The function group of BiVO_4 powder was investigated by Fourier transform infrared (FTIR). The vibration of Bi-O and VO_4^{3-} was obtained. The degradation of methomyl was studied onto BiVO_4 powder prepared by microwave method by high performance liquid chromatograph (HPLC). It was found that BiVO_4 powder prepared by microwave method irradiation power at 600 Watt for 2 min with the amount of 0.1000 g was the highest photodegradation efficiency of methomyl.

Key words: Photocatalytic, bismuth vanadate powder, microwave method, methomyl

คำนำ

ที่มาและความสำคัญ^[1-10]

ปัจจุบันสารกำจัดศัตรูพืชและสัตว์ (Pesticides) ได้ถูกนำมาใช้ในด้านเกษตรกรรมและอุตสาหกรรม เป็นจำนวนมาก โดยเฉพาะอย่างยิ่งทางด้านการเกษตร โดยนำมาใช้ป้องกันแมลงและศัตรูพืชต่างๆ เพื่อมิให้ศัตรูพืชได้ทำลายผลผลิตทางการเกษตร ดังนั้นสารดังกล่าว จึงมีผลกระทบต่อเกษตรกรและระบบสิ่งแวดล้อม โดยอาจจะมีการตกค้าง การสะสมและการปนเปื้อน สารดังกล่าวทั้งในแหล่งน้ำธรรมชาติ บริเวณพื้นดินและในบรรยายกาศ ซึ่งส่งผลกระทบต่อการเจริญของพืช สัตว์ และมนุษย์ โดยกลุ่มที่มีความเสี่ยงมากที่สุด คือ กลุ่มเกษตรผู้ใช้สารกำจัดศัตรูพืชและสัตว์

จากข้อมูลของสำนักงานเศรษฐกิจการเกษตร (Office of Agricultural Economics) พบว่า จากอัตราเฉลี่ยปัจจุบันเกษตรกรชาวไทยนิยมใช้สารกำจัดศัตรูพืชเป็นจำนวนมาก ดูได้จากข้อมูลตั้งแต่ปี 2545-2552 ปริมาณการนำเข้าสารกำจัดศัตรูพืช มีปริมาณเพิ่มมากขึ้นและยังมีแนวโน้มที่เพิ่มขึ้นตามลำดับ

ตารางที่ 1 ปริมาณและมูลค่าการนำเข้าสารกำจัดศัตรูพืช ปี 2545-2552

ปี	สารกำจัดแมลง (Insecticide)		สารป้องกันและกำจัดโรคพืช (Fungicide)		สารกำจัดหัชพืช (Herbicide)		อื่นๆ		รวม	
	ปริมาณ	มูลค่า	ปริมาณ	มูลค่า	ปริมาณ	มูลค่า	ปริมาณ	มูลค่า	ปริมาณ	มูลค่า
2545	9,046	2,931	5,681	1,444	22,670	4,349	2,237	392	39,634	9,116
2546	9,790	3,136	6,732	1,678	31,879	6,101	1,930	426	50,331	11,341
2547	16,731	2,835	10,108	1,719	55,649	6,080	4,417	502	86,905	11,135
2548	18,529	3,322	9,052	1,716	48,841	5,806	3,744	516	80,166	11,360
2549	20,487	3,856	9,383	1,722	62,129	6,821	3,764	499	95,763	12,899
2550	21,590	3,746	10,626	1,833	79,239	8,914	4,869	533	116,323	15,026
2551	25,332	4,577	11,255	2,537	68,825	11,487	4,497	580	109,908	19,182
2552	19,709	3,972	8,485	2,968	85,821	9,338	4,137	537	118,152	16,816

หมายเหตุ :

- อื่นๆ ได้แก่ สารชีวินทรีย์กำจัดแมลง สารกำจัดไร สารกำจัดหนู สารควบคุมการเจริญเติบโตของพืช สารกำจัดหอยและหอยทาก สารรرمควนพิษ สารกำจัดไส้เดือนฟอย และอื่นๆ

2. ปี 2546 ยังไม่รวมสารกำจัดศัตรูพืชจำพวกกุลินทรีย์ ปริมาณ 127 ตัน มูลค่า 39 ล้านบาท
3. ปริมาณ: ตันของสารออกฤทธิ์
4. มูลค่า: ล้านบาท

สารกำจัดศัตรูพืช แบ่งออกได้เป็น 5 กลุ่ม ตามชนิดของการใช้งาน คือ

1. สารกำจัดแมลง (Insecticides)
2. สารกำจัดวัชพืช (Herbicides)
3. สารกำจัดหนู (Rodenticides)
4. สารกำจัดเชื้อรา (Fungicides)
5. สารกันแมลง (Insect repellants)

สารกำจัดแมลง (Insecticides) แบ่งออกได้เป็น 4 กลุ่ม คือ

1. ออร์กานอฟอสเฟต (Organophosphates)
2. ออร์กาน็อกลอรีน (Organochlorines)
3. คาร์บามे�ต (Carbamate)
4. ไพริทรอຍด์ (Pyrethroids)

เมทโธมิล (Methomyl) เป็นสารกำจัดแมลง กลุ่มคาร์บามे�ต ซึ่งมีการนิยมใช้กันอย่างมากในประเทศไทย มีฤทธิ์ในการกำจัดพืชแมลงและไร ลักษณะการทำลายศัตรูพืชของเมทโธมิล จะแบ่งออกเป็น 2 แบบ คือ สัมผัสตัวตายและทำให้เป็นพิษต่อกระเพาะอาหาร ซึ่งถ้าได้รับยาดังกล่าว โดยตรงจากการกินจะทำให้แมลงดังกล่าวตายได้ ดังนั้นเมทโธมิล จึงเป็นสารเคมีกำจัดแมลงที่นิยมของเกษตรกรไทย นำมาใช้เพื่อป้องกันและกำจัดแมลงศัตรูพืช ทั้งผลไม้ ผัก ฝ้าย ยาสูบ และพืชผัก อีกหลายชนิด การใช้เมทโธมิลในปริมาณที่มาก จะทำให้เกิดการสะสมสารพิษดังกล่าวในระบบสิ่งแวดล้อม ทั้งในดินและแหล่งน้ำธรรมชาติ

การกำจัดเมทโธมิล ที่เกิดจากกระบวนการน้ำชาด้านหน้าดินหรือน้ำได้ดินจากการทำการเกษตรและการใช้สารกำจัดแมลง ได้มีการใช้เทคโนโลยีการบำบัดน้ำเสียแบบทั่วไป (Conventional treatment) แต่ไม่สามารถที่จะบำบัดน้ำเสียที่มีการปนเปื้อนของเมทโธมิล นี้ได้อย่างมีประสิทธิภาพ ดังนั้น จึงได้มีการนำเอากโนโลยีการบำบัดน้ำเสียขั้นสูง มาใช้เพื่อการบำบัดน้ำเสียที่มีการปนเปื้อนเมทโธมิล เช่น กระบวนการกรดดูดถ่านกัมมันต์ (Activated carbon absorption) แต่พบว่า มีประสิทธิภาพในการบำบัดได้ดีกว่าวิธีดั้งเดิม แต่ยังมีปัจจัยกำหนด คือ ถ่านกัมมันต์จะมี

ความสามารถในการคุณซับถึงจุดสูงสุดและไม่สามารถคุณซับได้อีกต่อไป เนื่องจากพื้นที่ผิวของการคุณซับถูกใช้ไปหมดแล้ว ถ้าต้องการนำกลับมาใช้ใหม่จะมีค่าใช้จ่ายในการปรับสภาพถ่านกัมมันต์ให้มีประสิทธิภาพในการคุณซับอีกรึหนึ่งที่สูงมาก (Regenerate)

ในปัจจุบันนี้ได้มีการพัฒนาและใช้กันแพร่หลาย สำหรับการบำบัดสารพิษอันตราย รวมไปถึงเมทโธมิล คือ ปฏิกิริยาไฟโตแคตาไลติกส์ (Photocatalytic) ซึ่งเป็นการฉายแสงอัลตราไวโอเลต (Ultraviolet) หรือแสงวิสิเบิล (Visible) ใช้ในการระดูน้ำให้ออนุภาคของสารกึ่งตัวนำ (Semiconductor) ให้ปลดปล่อยอนุภาคเรดิกเกล (Radical) สามารถทำลายพันธะของเมทโธมิล โดยพบว่า การใช้แสงอัลตราไวโอเลตหรือแสงวิสิเบิล ร่วมกับตัวเร่งปฏิกิริยาหรือแคตคาลิสต์ (Catalyst) สามารถเพิ่มอัตราการเกิดลายตัวของเมทโธมิล ได้มากกว่าการใช้แสงอัลตราไวโอเลตหรือแสงวิสิเบิลเพียงอย่างเดียว

สำหรับการใช้ตัวออกซิไดซ์ต่างๆ เช่น ไอโอดีน (O_3) หรือไออกซิเจนเปอร์ออกไซด์ (H_2O_2) ก็สามารถทำลายเมทโธมิล แต่มีประสิทธิภาพน้อยกว่ากรณีข้างต้น ถึงแม้ว่าถ้ามีการใช้แสงอัลตราไวโอเลตหรือแสงวิสิเบิล ร่วมกับตัวออกซิไดซ์ จะมีประสิทธิภาพดีขึ้นบ้าง แต่ราคานั้นทุนของไอโอดีนและไออกซิเจนเปอร์ออกไซด์ มีราคาที่สูงมาก โดยเฉพาะในการใช้งานกับระบบบำบัดน้ำเสียขนาดเล็กและปริมาณการปนเปื้อนของสารพิษมีไม่นักนัก

ดังนั้นการบำบัดน้ำเสียโดยปฏิกิริยาไฟโตแคตาไลติกส์ อาศัยการใช้แสงอัลตราไวโอเลตหรือแสงวิสิเบิล ร่วมกับสารกึ่งตัวนำ จึงเป็นวิธีที่สนใจในปัจจุบัน เนื่องจาก เป็นวิธีที่มีประสิทธิภาพสูง อีกทั้งยังสามารถนำมาใช้กำจัดสารพิษต่างๆ ที่ปนเปื้อนในแหล่งน้ำธรรมชาติ รวมทั้งยังสามารถย่อขยายสารประกอบอินทรีย์ต่างๆ ที่ได้จากแหล่งน้ำเสียจากโรงงานอุตสาหกรรม ที่เป็นอันตรายต่อสิ่งแวดล้อม ได้อีกด้วย

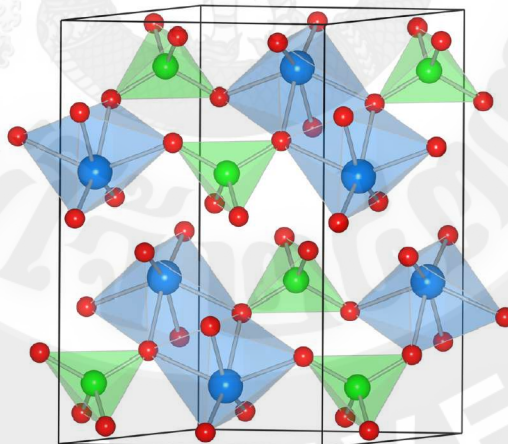
สำหรับงานวิจัยนี้ จะได้ทำการศึกษาปฏิกิริยาไฟโตแคตาไลติกส์ของผงบิสมัชوانาเดตที่เตรียมโดยวิธีวิชีนิมิโกรเฟ เพื่อใช้ในการถ่ายทอดความรู้ทางวิชาการ ให้กับนักศึกษาและบุคลากร ทางภาควิชาเคมี สำหรับผู้ที่สนใจศึกษาเรื่องนี้ สามารถถูกกระตุ้นด้วยแสงวิสิเบิล ในการเกิดอนุภาคเรดิกเกล ได้ เนื่องจากจะมีช่องว่าง (Energy gap) ระหว่างชั้นต่ำสุดของอิเล็กตรอน (Valence band) กับชั้นต่ำสุดของไฟฟ้า (Conduction band) มีค่าต่ำ จึงสามารถใช้แสงวิสิเบิลที่มีพลังงานต่ำกว่าแสงอัลตราไวโอเลต มากระตุ้นให้เกิดเรดิกเกล ได้ จึงเป็นข้อได้เปรียบสำหรับการประยุกต์ใช้ในการ

slavery ตัวของเมทโซมิล ในแหล่งน้ำธรรมชาติ ซึ่งต้นทุนราคาของแหล่งกำเนิดแสงมีค่าแตกต่างกันมาก ดังนั้นงานวิจัยนี้สามารถลดต้นทุนในการประดิษฐ์ต้นแบบของงานวิจัยนี้ได้

บิสมัชوانาเดต (Bismuth vanadate, BiVO_4)^[11, 12]

บิสมัชوانาเดต ประกอบด้วยอะตอมบิสมัชหนึ่งอะตอม วนาเดียมหนึ่งอะตอม และออกซิเจนสี่อะตอม แสดงดังภาพที่ 1 โดยอะตอมสีฟ้าคือ บิสมัช อะตอมสีเขียวคือ วนาเดียม และอะตอมสีแดง คือ ออกซิเจน น้ำหนักโมเลกุลเท่ากับ 395.92 กรัมต่โอมol เป็นสารกึ่งตัวนำที่มีคุณสมบัติเป็นเฟอร์โรอิเล็กตريك ไม่เป็นพิษต่อสิ่งแวดล้อม มีลักษณะเป็นผงสีเหลือง สามารถย้อมติดสีได้ เป็นตัวเร่งปฏิกิริยาในปฏิกิริยาไฟฟ้าแคตodic

บิสมัชوانาเดตจะมีโครงสร้างของผลึกอยู่ 3 ชนิด คือ โมโนคลินิก (Monoclinic) แบบชีไลท์ (Sheelite) เตตራgonอล (Tetragonal) แบบชีไลท์ (Sheelite) และเตตตราgonอล (Tetragonal) แบบเซอร์โคอล (Zircon) ซึ่งสามารถสังเคราะห์ผงบิสมัชوانาเดตโครงสร้างผลึกโมโนคลินิกได้ในกระบวนการที่ใช้อุณหภูมิสูง ส่วนโครงสร้างผลึกแบบเตตตราgonอล ได้จากการบวนการสังเคราะห์ที่อุณหภูมิต่ำ



ภาพที่ 1 โครงสร้างโมโนคลินิกของบิสมัชوانาเดต^[13]

โดยอะตอมสีฟ้า คือ บิสมัช

อะตอมสีเขียว คือ วนาเดียม

และอะตอมสีแดง คือ ออกซิเจน

ตารางที่ 2 สมบัติทางกายภาพของบิสมัชوانาเดต

ชื่อ	บิสมัชوانาเดต
สูตรโมเลกุล	BiVO_4
น้ำหนักโมเลกุล	395.92 กรัมต่อโมล
สี	เหลือง
กลิ่น	ไม่มีกลิ่น
ลักษณะ	ของแข็ง
โครงสร้างผลึก	เอกซ์ไกโนอล เตตระไกโนอล และ โมโนคลินิก
ค่าความเป็นกรด-ด่าง	7-8
ความหนาแน่น	5.9 กรัมต่อลูกบาศก์เซนติเมตร
จุดหลอมเหลว	1000 องศาเซลเซียส
ค่าการดูดซับน้ำมัน	18 เปอร์เซ็นต์

การเตรียมสารบิสมัชوانาเดต

การเตรียมสารบิสมัชوانาเดตสามารถทำการเตรียมได้โดยวิธีทางเคมีหลายวิธีด้วยกัน นักวิจัยหลายๆ ท่านมุ่งสนใจในการออกแบบวิธีการเตรียมในทางที่จะทำให้ได้ผลิตภัณฑ์มีคุณสมบัติที่สมบูรณ์และมีประสิทธิภาพ มีวิธีดังต่อไปนี้

1. วิธีการเตรียมในสถานะของแข็ง (Solid state reaction)

วิธีการเตรียมในสถานะของแข็ง^[14] เป็นวิธีการเตรียมสารอิเล็กทรอนิกส์แบบดั้งเดิมบางครั้งเรียกว่า กระบวนการออกไซด์ผสม (mixed oxide process) นิยมใช้กันมากที่สุด เนื่องจากเตรียมง่าย เริ่มจากนำสารตั้งต้นที่เป็นของแข็งมาซึ่งให้ได้ตามสัดส่วนที่ต้องการ แล้วนำมานดคลุกเคลือบ เป็นเนื้อเดียวกัน (อาจใช้เครื่องเบเยอร์หรือเครื่องบด) อบให้แห้ง จนน้ำ份ไป殆หอยุ่นและเวลาที่ต้องการ ผลผลิตที่ได้มักมีความบริสุทธิ์ต่ำ ไม่เป็นเนื้อเดียวกัน และบางทีอาจมีสารประกอบรูปอื่นๆ เจือปนจากสารตั้งต้น หรือจากชุดอุปกรณ์ที่ใช้ในการเตรียม เช่น ซิลิกา อะลูมินา เป็นต้น สิ่งเจือปนเหล่านี้มีผลกระทบต่อสมบัติต่างๆ ของสารที่ต้องการเตรียม

2. วิธีการเตรียมแบบตกตะกอนร่วม (Coprecitation method)

วิธีการตกตะกอนร่วม^[15] เป็นวิธีของการแยกไอออน หรือโมเลกุลของสารที่สนใจซึ่งอยู่ในเฟสของสารละลายจะถูกทำให้กระจายมาอยู่ในเฟสของของแข็ง หรือที่เรียกว่าตะกอนได้ โดยเพิ่มสมบัติที่เหมาะสมสำหรับการตกตะกอน เช่น ค่า pH ความเข้มข้น บรรยากาศ และอัตราการผสม

สารละลาย เป็นต้น ซึ่งจะบริสุทธิ์แค่ไหนนั้นจะพิจารณาจากการเปรียบเทียบระหว่างค่าผลคูณของไอออน (Ion product) กับค่าคงที่ของการละลาย (Solubility product constant, K_{sp}) วิธีการทดสอบเป็นวิธีที่มีกระบวนการเตรียมตามชนิดของตัวกลางหลักที่ใช้

3. วิธีการเตรียมแบบไฮโดรเทอร์มอล (Hydrothermal method)

วิธีไฮโดรเทอร์มอล^[16-17] เป็นวิธีที่ได้รับความนิยมอย่างกว้างขวาง ในปัจจุบันได้มีการเตรียมผงเซรามิก เนื่องจากผงเซรามิกที่เตรียมได้มีความสม่ำเสมอทั้งองค์ประกอบเคมีและขนาดของอนุภาคสามารถเตรียมได้ในขั้นตอนเดียวที่อุณหภูมิและความดันปานกลาง โดยไม่ต้องผ่านขั้นตอนการแคลนไซน์ (Calcination) และมีอุณหภูมิของการเผาผนิก (Sintering temperature) ต่ำ เมื่อเปรียบเทียบกับผงที่เตรียมได้จากการเตรียมทางเคมีอื่นๆ เพราะอนุภาคมีขนาดเล็กกว่าแต่วิธีการเตรียมแบบนี้จะต้องมีการควบคุมค่า pH อุณหภูมิ และความเข้มข้นของสารที่ทำปฏิกิริยา วิธีไฮโดรเทอร์มอลได้ถูกนำมาใช้ในการเตรียมสารเฟอร์โรอิเล็กตริกทั้งผงและฟิล์มนาง

กลไกพื้นฐานสำหรับวิธีไฮโดรเทอร์มอลของอนุภาคเซรามิกออกไซด์ สามารถอธิบายได้เมื่ออนุภาคเป็นสารแขวนลอย กลไกของการทดสอบของอนุภาคที่เป็นสารพวกออกไซด์ไฮดรอก-ไซด์ หรือสารประกอบออกไซด์ จะสามารถละลายในสารละลายได้จนกระทั่งอิ่มตัว และสุดท้ายจะได้ผลิตภัณฑ์ทดสอบออกมา

กรณีของสารแขวนลอยไม่สามารถละลายในสารละลายของเหลว ดังนั้นอาจจะเติมเบสลงไปหรืออนุภาคเซรามิกส์ การเลือกใช้แต่ละกลไกขึ้นอยู่กับสภาพในการเตรียมนั้นด้วย การเตรียมโดยวิธีไฮโดรเทอร์มอลในการผลิตผงเซรามิกส์ มีข้อได้เปรียบ คือ ใช้อุณหภูมิไม่สูงมาก เหมือนการเผาแคลน-ไซน์ และวัตถุคิดขึ้นต้นมีราคาถูกกว่า แต่อุ่นไร์ที่ตามกระบวนการนี้สามารถเลือกใช้ออกไซด์ได้บางชนิดเท่านั้น ซึ่งเป็นชนิดที่เกิดไก้ภายในวิธีไฮโดรเทอร์มอล

4. วิธีการเตรียมแบบโซล-เจล (Sol-gel method)

วิธีการเตรียมแบบโซล-เจล^[18-19] นิยมใช้ในการเตรียมอิเล็กทรเซรามิกส์ ซึ่งจะเกี่ยวข้องกับปฏิกิริยาโลหะอัลลอยออกไซด์ หลังจากนั้นทำให้แห้งและอัดผงอนุภาคให้ติดกันเป็นก้อนแข็ง โดยใช้ความร้อนแต่เป็นที่อุณหภูมิต่ำกว่าจุดหลอมละลายของโลหะ จะได้สารที่เป็นตัวนำไฟฟ้า อุปกรณ์ที่เป็นเซรามิกส์

โซล (Sol) คือ สารแขวนลอยในสถานะของเหลวคล้ายสารละลายแขวนลอยชนิดหนึ่ง ซึ่งจับตัวแข็งเป็นรูน มีความหนืดสูงจนสารละลายมีความยืดหยุ่นอย่างของแข็ง ที่เป็นเช่นนี้เนื่องจากโครงสร้างตาข่าย (Net work) ของเฟสที่กระจายตัว (Dispersed phase) หรือคลอลอยด์ (Colloid) หรือสารตัวกลางทำกระจาย (Dispersion medium) วนเวียนอยู่ในโครงสร้างตาข่ายนั้น การ

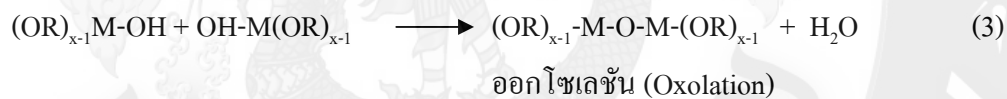
เปลี่ยนจากซอล (Sol) ไปเป็นเจล (Gel) จะทำให้มีความหนืดสูงขึ้น ในระบบของซอล-เจล จะอธิบายได้เป็น 2 แบบ ซึ่งแตกต่างกัน คือ

1. ระบบอนุภาคที่แปรผลอย จะเกี่ยวข้องกับการกระจายของโลหะออกไซด์ หรืออนุภาคของไฮดรอกไซด์ ในของเหลวที่เป็นซอล แล้วซอลจะรวมตัวกันเป็นเจล

2. ระบบของพอลิเมอร์ จะเกี่ยวข้องกับการเกิดพอลิเมอร์ของสารเคมีอนินทรีย์ของโลหะ-อัลคาลิออกไซด์ที่จะผลิตเจลได้พอลิเมอร์ที่มีลักษณะโครงสร้างตาข่าย สำหรับระบบของพอลิเมอร์โมเลกุลที่เป็นโครงสร้างตาข่ายได้จากการเกิดพอลิเมอร์ของโลหะอนินทรีย์ เช่น โลหะอัลคาลิออกไซด์ซึ่งประกอบด้วยอะตอมของโลหะกับกลุ่มอัลคาลิที่ต่อ กับออกซิเจน เช่น $-CH_3$ (เมธิล), $-C_2H_5$ (เอธิล) เป็นต้น ดังปฏิกิริยาโลหะอัลคาลิออกไซด์สายสัมภាត สำหรับ $M(OR)_x$ ที่ถูกไฮดรอลิซิสบางส่วนหรือทึบหมุด



ปฏิกิริยาต่อไปเป็นการต่อสายลูกโซ่จากปฏิกิริยาพอลิคอนเดนเซชัน (Polycondensation)



ในระบบนี้จะมีเจลเลชัน (Gelation) เกิดขึ้น เมื่อมีสารที่มีโมเลกุลสายยาวเป็นผลิตภัณฑ์จากการเกิดไฮดรอลิซิส และพอลิคอนเดนเซชันของอัลคาลิออกไซด์ พลิคัณที่จะมีลักษณะเป็นโครงสร้างตาข่ายที่ใหญ่ขึ้นอย่างรวดเร็ว จุดที่เริ่มเป็นเจลจะเป็นช่วงเวลาที่เกิดโมเลกุลขนาดใหญ่ที่ต้องรอบซอล ซึ่งจะสามารถสังเกตได้จากการทดลอง พบร่วมกับความหนืดเพิ่มขึ้น เกิดพฤติกรรมการเปลี่ยนแปลงรูปร่าง และการไหลของเจลที่เหมาะสมซึ่งสามารถทำเป็นฟิล์ม เส้นใย หรือการขึ้นรูปต่างๆ

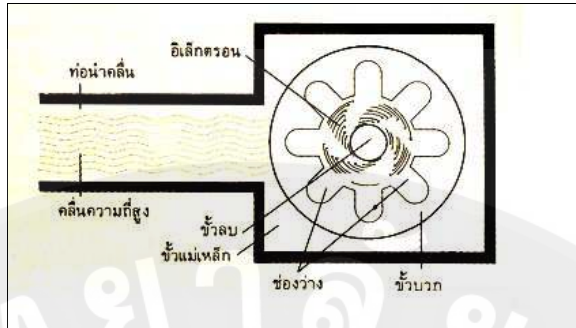
ขั้นตอนการทำให้เจลแห้งจะทำให้เจลเกิดรูพรุน และเป็นของแข็งอสัมฐานที่อนุภาคของเจลตัวอย่างของการทำให้แห้งโดยการระเหยเจลทำให้อยู่ในรูปของเซโรเจล (Xerogel) ซึ่งจะมีการยุบตัวของผิวน้ำเจลเท่านั้น แต่การทำให้เจลแห้งภายใต้สภาพวิศุกต เช่น ที่ความดันวิศุกตและอุณหภูมิวิศุกต เมื่อของเหลวและไฮโดรซูลซึ่งกันและกัน จะสามารถกำจัดของเหลวและไฮอิอยู่ระหว่างผิวทึบส่อง จะทำให้เกิดรูพรุนทั่วทั้งหมุด เรียกว่า อโรเจล (Aerogel) แสดงดังรูป 1.5

วิธีแบบซอล-เจล เป็นวิธีการเตรียมสารโดยเริ่มจากการใช้สารตั้งต้น ที่อยู่ในสภาพของสารละลายซึ่งผสมเข้ากันเป็นอย่างดีและสามารถทำปฏิกิริยา กันในระดับโมเลกุล ทำให้เกิดโมเลกุลที่เป็นสายโซ่ยาวหรือเกิดอนุภาคที่มีขนาดเล็กกระจายตัวอยู่ในของเหลวที่เรียกว่า ซอล (Sol) เมื่อความเข้มข้นของสารละลายเพิ่มขึ้น ความหนืดของสารจะสูงขึ้นจนกระทั่งถลายสภาพเป็นสารกึ่งของเหลวที่เรียกว่า เจล (Gel) จากนั้นจึงนำเจลที่ได้ไปทำให้แห้งสนิท แล้วบดให้เป็นผงละเอียดก่อนนำไปเผา แคลไซน์ด้วยอุณหภูมิที่เหมาะสมต่อไป วิธีการเตรียมแบบซอล-เจล จะทำให้ได้ผงที่มีขนาดเล็กและมีความบริสุทธิ์สูงมาก และสามารถสมเป็นเนื้อเดียวกัน

5. วิธีการเตรียมแบบไมโครเวฟ (Microwave method)

ไมโครเวฟ (Microwave)^[20] เป็นคลื่นความถี่วิทยุนิcid หนึ่งที่มีความถี่อยู่ระหว่าง 0.3-300 GHz ส่วนในการใช้งานนั้นส่วนมากนิยมใช้ความถี่ระหว่าง 1-60 GHz เพราะเป็นย่านความถี่ที่สามารถผลิตขึ้นได้ด้วยอุปกรณ์อิเล็กทรอนิกส์ ไมโครเวฟเป็นคลื่นแม่เหล็กไฟฟ้า มีลักษณะคล้ายกับคลื่นวิทยุ แต่มีความถี่ที่สั้นกว่า หัวใจสำคัญของเตาไมโครเวฟ คือตัว “แมกนิตรอน” ที่จะเป็นตัวเปลี่ยนพลังงานไฟฟ้าเป็นคลื่นไมโครเวฟ ไม่เป็นอันตรายต่อมนุษย์ เพราะคลื่นไมโครเวฟเป็นคลื่นมิใช่รังสี จึงไม่กระจายและสะสมในร่างกายมนุษย์ ระบบการทำงานของเตาไมโครเวฟ คลื่นไมโครเวฟจะพุ่งเข้าสู่อาหารจากทุกทิศทางโดยรอบจากผนังเตาด้านใน แล้วแผ่กระจายไปสู่วัตถุ เมื่อคลื่นไปกระทบกับวัตถุ ทำให้โมเลกุลของวัตถุเกิดการเสียดสีกัน ก่อให้เกิดเป็นพลังงานความร้อน

กลไกการเกิดคลื่นไมโครเวฟ^[21] เมื่อมีกระแสไฟฟ้าไหลเข้าสู่ขั้วลบของแมกนิตรอน ก็จะปล่อยอนุภาคไฟฟ้าหรืออิเล็กตรอนออกมາ อิเล็กตรอนจะวิ่งเข้าหาทรงกระบอกวงช่องภายใน เช้าเป็นร่องยาวไว้ ทรงกระบอกนี้ล้อมอยู่รอบขั้วลบ และทำหน้าที่เป็นขั้วนาก ขณะเดียวกัน สนามแม่เหล็กจากขั้วแม่เหล็ก ประกอบกับลักษณะช่องว่างเป็นร่องยาวจะส่งผลให้เกิดแรงผลักดัน อิเล็กตรอนให้วิ่งเป็นวงกลมรอบขั้วลบ เกิดสภาพเหมือนกับมีกระแสไฟฟ้าไหลกลับไปกลับมาอย่างรวดเร็ว ซึ่งผลที่ได้ ก็คือจะเกิดคลื่นแม่เหล็กไฟฟ้า (เส้นที่มีลักษณะเป็นคลื่น) ที่มีอัตราการเปลี่ยนแปลงกลับไปกลับมาเท่ากันจากนั้นก้านส่งคลื่นก็จะส่งคลื่นเข้าสู่ท่อน้ำคัลล์ต่อไป (ทิศทางตามลูกศร)



ภาพที่ 2 กลไกการเกิดคลื่นไมโครเวฟ^[21]

การทำงานของเตาไมโครเวฟ^[22] เตาอบไมโครเวฟ จะทำงานที่ความถี่ 2450 MHz จะให้พลังงาน 500-1100 วัตต์ ในตู้อบไมโครเวฟ มีห่อที่เรียกว่า แม่กนิตรอน ซึ่งเป็นแหล่งที่ทำให้เกิดคลื่น เมื่อเปิดสวิตช์ ก็จะเกิดคลื่น คลื่นนี้จะถูกพัดลมพัดคลื่นให้กระจายทั่วเตา วัตถุก็จะดูดซึมคลื่น นอกจากนั้นหากต้องหันหน้าให้วัดกุญแจรับคลื่นอย่างสม่ำเสมอ ไม่เดลกุญแจของน้ำเมื่อได้รับคลื่นไมโครเวฟ จะเกิดการสั่นทำให้เกิดความร้อน โลหะที่เป็นส่วนประกอบในเตา หรือภาชนะที่ใส่ไว้ในเตาจะไม่ร้อน ความร้อนมากกวัตถุทำให้ภาชนะร้อน การเลือกภาชนะ ต้องใช้ชนิดที่ระบุไว้ในเตาไมโครเวฟได้เท่านั้น

ตารางที่ 3 การเปรียบเทียบวิธีการเตรียมวัสดุโพโตแคนาไลติกส์^[23]

วิธี	ข้อดี	ข้อเสีย
1. โซลิดสเตท (Solid state method)	1. สารตั้งต้นราคาถูก 2. สังเคราะห์ได้ปริมาณมาก	1. อนุภาคมีขนาดใหญ่ 2. มีสารมลพิษจากขั้นตอนการบด 3. ใช้อุณหภูมิสูงในการเผาแคลใจ
2. การตกตะต่อนร่วม (Co-precipitation method)	1. ได้ผงละเอียด (ถ้าอัตราการ ตกตะกอนต่ำในสารละลายที่ มีความเข้มข้นจึงอาจ) 2. ได้ผงละเอียด	1. อนุภาคเกักกัน เกิดการรวมตัว เป็นก้อน 2. ต้องบดเพื่อให้ได้ผงละเอียดและ ขนาดอนุภาคสม่ำเสมอ
3. ไฮโดรเทอร์มอล (Hydrothermal method)	1. ได้ผงละเอียด 2. ความบริสุทธิ์สูง 3. สามารถควบคุมขนาดอนุภาค ได้	1. ต้องควบคุมอุณหภูมิ ความเข้มข้น ของสารระหว่างที่เข้าทำปฏิกิริยา 2. ต้องควบคุมค่า pH ในเครื่อง 3. ต้องมีการควบคุมอัตราการคน อย่างสม่ำเสมอ
4. ซอล-เจล (Sol-gel method)	1. ได้ผงละเอียดสม่ำเสมอ มี ความบริสุทธิ์สูง 2. เกิดการรวมตัวกันในระดับ ไมเลกุลของสารตั้งต้น ทำให้ พื้นที่ผิวของเจลมาก	1. สารตั้งต้นมีราคาสูง 2. มีความซึ่นสูง
5. ไมโครเวฟ (Microwave method)	1. อัตราการเกิดปฏิกิริยาสูง 2. ใช้เวลาสั้นในการทำปฏิกิริยา 3. ราคาถูก 4. ขั้นตอนการสังเคราะห์ ขั้นตอนเดียว	1. ตกตะกอนที่ได้ไม่บริสุทธิ์ 2. อนุภาคเกักกันกลุ่มกันเป็นก้อน

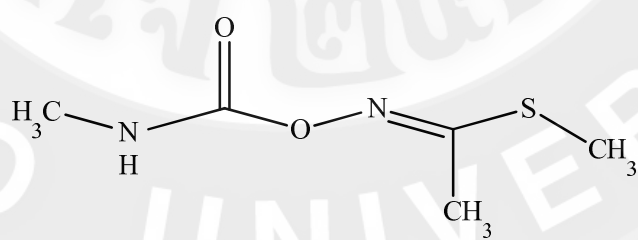
เมทโธมิล (Methomyl)^[24-27]

เมทโธมิล รู้จักในชื่อทางการค้าคือ แลนแนท (Lannate) เป็นวัตถุอันตรายที่มีอันตรายร้ายแรง หลายประเภทยกเลิกการใช้แล้ว เมทโธมิลเป็นวัตถุอันตรายที่มีพิษยั่งยืน พลั่วรุนแรง และมีสารเคมีที่มีอันตรายน้อยกว่าอีกหลายชนิดที่ใช้ทดแทนได้ เช่น ไดอะเฟน ไทฟูเอน คลอร์ฟีนาเพอร์ ฟิปอร์นิล

และไซเบอร์เมทริน ทั้งขั้งสามารถใช้สารทางเลือกหรือผลิตภัณฑ์อินทรีย์ทดแทนสารเคมีได้ เช่น เชื้อแบคทีเรียบีที เป็นต้น ซึ่งเป็นการลดความเสี่ยงจากการตรวจสอบพบเมทโซมิลตอกถ่างในผักและผลไม้ที่ส่งออกจากข้อมูลที่กล่าวมาข้างต้น จึงเป็นสาเหตุของการห้ามใช้วัตถุอันตรายทั้ง 4 ชนิด เนื่องจากเป็นสารที่มีอันตรายสูง

คุณสมบัติของเมทโซมิล

เป็นสารกำจัดแมลงชนิดหนึ่ง จัดอยู่ในกลุ่มสารบนาเมต เช่นเดียวกับสาร์โนบฟูแรน (ฟูราคน) คาร์บาริล (เซพวิน) โพรพีโอกเซอร์ (ไบกอน) ออกฤทธิ์ในการกำจัดแมลงแบบสัมผัสตัวตายและดูดซึมเข้าสู่ลำต้นของพืช มีคุณสมบัติขับยั้งการทำงานของ เอนไซม์ Acetylcholinesterase เมื่อ結合กับสารกลุ่ม ออร์กานิฟอสฟอรัส ปฏิกิริยาที่เกิดเป็นแบบไม่ถาวรและถลายได้ง่าย โดยเกยตกรนิยมใช้กันอย่าง แพร่หลายในด้านการเกษตรเพื่อใช้กำจัดศัตรูพืชหนอนผีเสื้อ เพลี้ยอ่อนกำจัดเพลี้ยไฟ หนอนเจา สมอฝ้าย ในการปลูกผัก ผลไม้ เช่น ข้าวโพด ข้าวฟ่าง ถั่วลิสง ถั่วฟักขาว กะหลាปะลี แตงกวา มะเขือเทศ หอมแดง พริก เมล็ดฝ้าย แตงโม มะม่วง ส้ม องุ่น แอปเปิล นอกจากนี้ยังใช้เป็นสารกำจัดเห็บ หมัด เป็นต้น เมทโซมิลเป็นสารที่ถลายได้เร็วจัง ไม่ค่อยตอกถ่างในสิ่งแวดล้อมแต่มีพิษเนื้บพลันสูง โดยมีฤทธิ์ขับยั้งการทำงานของเอนไซม์ Acetylcholinesterase ทำให้เกิดการสะสมของ Acetylcholine ที่ปลายประสาทเมื่อ結合กับสารกลุ่มออร์กานิฟอสฟอรัส มีความเป็นพิษต่อสัตว์เลี้ยง ลูกด้วยนมน้อย เนื่องจากปฏิกิริยาที่เกิดเป็นแบบไม่ถาวรและถลายได้ง่าย ค่าความเป็นพิษ LD₅₀ โดย การกินของหนู มีค่า 17-24 มิลลิกรัมต่อกิโลกรัม LD₅₀ ค่าความเป็นพิษในสัตว์ปีก เช่น ไก่ มีค่า 28 มิลลิกรัมต่อกิโลกรัม นกกระสา มีค่า 24.2 มิลลิกรัมต่อกิโลกรัม และนกเป็ดน้ำ มีค่า 15.9 มิลลิกรัม ต่อกิโลกรัม



ภาพที่ 3 โครงสร้างทางเคมีของเมทโซมิล (Methomyl)

ลักษณะทั่วไปของเมทโอมิล

ชื่อสามัญ	เมทโอมิล
ชื่อตาม IUPAC	S-methyl-N-(methylcarbamoyloxy) thioacetamide
ชื่ออื่นๆ	Lannate Mesomile Methomex Nudrin
สูตรเคมี	$C_5H_{10}N_2O_2S$
มวลโมเลกุล	162.21 กรัมต่้อมล
ลักษณะทางกายภาพ	ผลึก
ความหนาแน่น	1.2946 กรัมต่อลูกบาศก์เซนติเมตร
จุดหลอมเหลว	78-79 องศาเซลเซียส
ความสามารถในการละลายได้	5 กรัมตอลิตร
ค่า LD ₅₀	17-24 มิลลิกรัมต่อกิโลกรัม

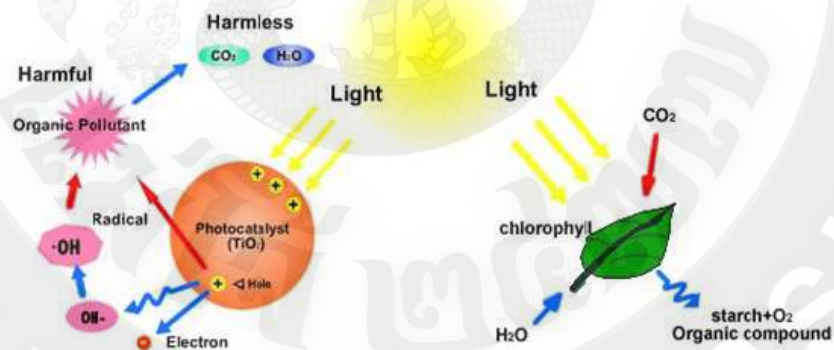
การกำจัดสารเมทโอมิลและการแก้ไขปัญหาที่เกิดจากสารเมทโอมิลที่มีผลกระทบทางด้านเกษตรกรรมและโรงงานอุตสาหกรรมจะต้องมีการปรับใช้เพื่อแก้ไขปัญหาในส่วนนี้เนื่องจากว่าคุณสมบัติของสารพิษเหล่านี้มีความแตกต่างกันตามการใช้งานในอุตสาหกรรมต่างๆ เช่นความสามารถในการละลายในน้ำ ขนาดโมเลกุลของสาร เป็นต้นซึ่งคุณสมบัติที่แตกต่างกันนี้จะมีการใช้วิธีการกำจัดที่แตกต่างกันออกໄປ เช่น การดูดซับด้วยถ่าน (Activated carbon) ซึ่งวิธีนี้ใช้ไม่ได้ทุกคุณสมบัติที่ต่างออกໄປ จึงได้มีการใช้กระบวนการไฟฟ้า催化 (Photocatalytic process) เข้ามาช่วยในการแก้ไข

ปฏิกิริยาไฟฟ้า催化 (Photocatalytic)

กระบวนการไฟฟ้า催化 (Photocatalytic process)^[28-31] เป็นเทคนิคการเร่งปฏิกิริยาโดยใช้แสงไปกระตุ้นอิเล็กตรอนที่แอบวนเลนซ์ (Valence band) ของสารประกอบกึ่งตัวนำ ซึ่งขณะลอยอยู่ในน้ำที่มีสิ่งเจือปนหลุดออกจากตำแหน่งส่างผลให้คู่อิเล็กตรอนที่หลุดໄป และไฮดรอเจน (hole) ซึ่งเป็นช่องว่างที่ไม่มีอิเล็กตรอน ซึ่งมีประจุบวกสามารถสร้างพลังงานความร้อนกลับมารวมตัวกันหรือทำปฏิกิริยากับสิ่งแวดล้อมภายนอก โดยที่ไฮดรอเจนจะทำปฏิกิริยากับน้ำและหมู่ไฮดรอกซิล เพื่อทำให้เกิดไฮดรอกซิลแรดิคัล (Hydroxyl radical) ซึ่งเป็นตัวออกซิไดส์ที่แรงซึ่งจะสามารถไปทำให้โมเลกุลของสารอินทรีย์ที่ละลายอยู่แตกตัวออกกลายเป็นน้ำ かる์บอนไดออกไซด์ ในที่สุด

ส่วนอิเล็กตรอนจะทำปฏิกิริยากับออกซิเจนที่ละลายอยู่ ทำให้เกิดชูปเปอร์ออกไซด์แอนิโอลน ซึ่งสามารถทำให้เกิดไฮดรอกซิลแรคคิลได้ หลังจากปฏิกิริยาผ่านไปหลายขั้นตอน ในอีกทางหนึ่ง อิเล็กตรอนสามารถลดปริมาณโลหะบางชนิดที่ละลายอยู่ได้ด้วย

ปัจจัยที่มีผลกระทบอย่างสำคัญต่อประสิทธิภาพของปฏิกิริยาการเร่งด้วยแสง คือ การรวมตัวกันใหม่ของอิเล็กตรอนกับไฮดรอเจน (Electron/Hole recombination) โดยปกติแล้วความสัมพันธ์ของอัตราการรวมตัวกันใหม่กับปริมาณอิเล็กตรอนและไฮดรอเจนจะเพิ่มขึ้นอย่างเป็นเส้นตรง กล่าวคือ ถ้าปฏิกิริยาเรดักชันสามารถเกิดได้อย่างรวดเร็ว ซึ่งหมายถึง ปริมาณอิเล็กตรอนที่แอบคุณดิชันของอนุภาคของสารกึ่งตัวนำมีมาก จะมีผลทำให้การรวมตัวกันใหม่ของอิเล็กตรอนกับไฮดรอเจนมีอัตราลดลง และประสิทธิภาพของปฏิกิริยาออกซิเดชันจะเพิ่มขึ้น เนื่องจากไฮดรอเจนสามารถทำปฏิกิริยาออกซิเดชันได้มากขึ้น ในทางกลับกันถ้าไฮดรอเจนที่ว่างของแกนวาเลนซ์ถูกบรรจุด้วยอิเล็กตรอนให้เต็มอย่างรวดเร็ว ด้วยปฏิกิริยาออกซิเดชันจะมีผลทำให้ประสิทธิภาพของปฏิกิริยาเรดักชันเพิ่มขึ้น ผลลัพธ์โดยรวมแล้วคือว่า เมื่อเกิดปฏิกิริยาเรดักชันของโลหะจะเป็นการส่งเสริมให้เกิดปฏิกิริยาออกซิเดชันของสารอินทรีย์ อย่างไรก็ตามสิ่งที่สนับสนุนการเพิ่มของบวนการขย้อนกลับเป็นความชันช้อนยุ่งยากมาก เพราะโดยปกติแล้วปฏิกิริยาออกซิเดชันจะเกิดผ่านไฮดรอกซิลแรคคิลเท่านั้น แสดงดังภาพที่ 4



ภาพที่ 4 ปฏิกิริยาฟ็อโตแคตาไลติกส์และฟ็อโตเคมี^[32]

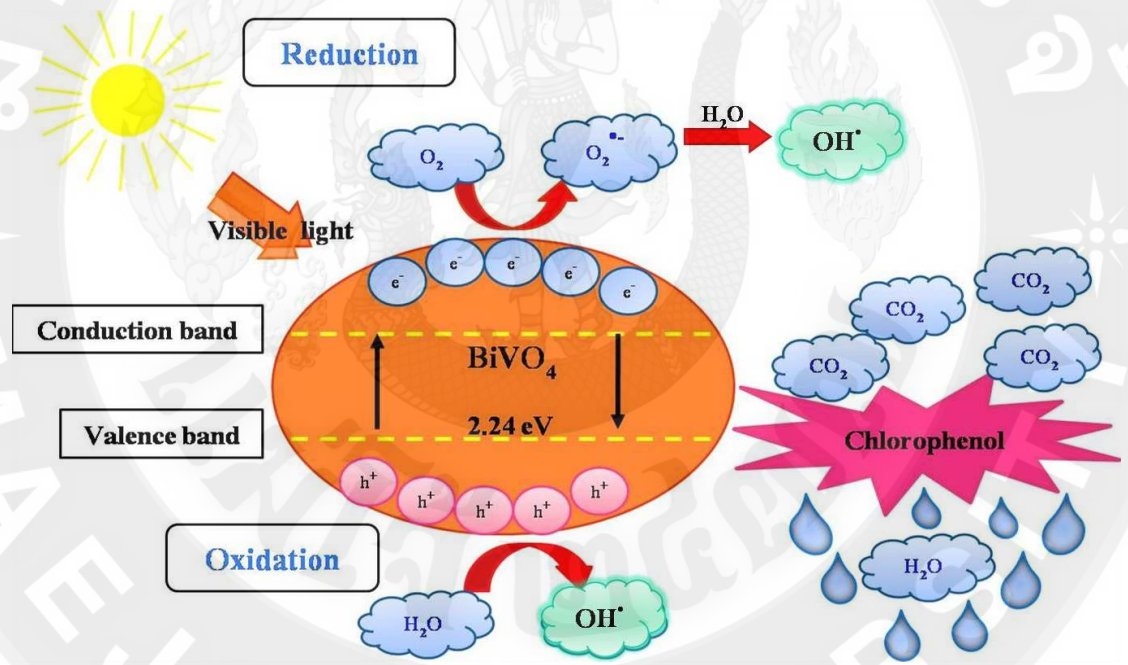
กลไกของปฏิกิริยาฟ็อโตแคตาไลติกส์ของบิสมัชนาเดต

ปฏิกิริยาฟ็อโตแคตาไลติกส์ของบิสมัชนาเดต^[33-34] ในการบำบัดสารอินทรีย์โดยทั่วไปนั้น จะเกิดจากการที่บริเวณผิวของสารประเทกฟ็อโตแคตาไลสต์ที่มีช่องว่าง (Hole) จะเกิดปฏิกิริยาออกซิเดชันกับไฮดรอกซิลไฮดรอเจน (OH^-) และน้ำ (H_2O) เกิดเป็นไฮดรอกซิลแรคคิคล (OH^+) และแรคคิคลตัวอื่นๆ ส่วนที่บริเวณผิวของสารประเทกฟ็อโตแคตาไลสต์ที่มีอิเล็กตรอนจะเกิดปฏิกิริยา

รีดักชันกับออกซิเจน (O_2) เกิดเป็นชูปเปอร์ออกไซด์ไอออนแรคิคอล (O_2^-) เปอร์ไ媳ดรอกซิลแรคิคอลออกไซด์ (HO^-) และไไฮโดรเจนเปอร์ออกไซด์ (H_2O_2) จะเกิดจากปฏิกิริยาระหว่างน้ำ (H_2O) กับชูปเปอร์ออกไซด์ไอ้อนแรคิคอล (O_2^-) โดยสามารถเกิดไ媳ดรอกซิลแรคิคอล (OH^-) ได้อีก

ในขณะที่สภาวะที่มีแก๊สออกซิเจนไม่เพียงพอ จะทำให้เกิด proton (H^+) ซึ่งเกิดจากการแตกตัวของน้ำเข้ามารับอิเล็กตรอนแทนเกิดเป็นไไฮโดรเจนแรคิคอล (H^-) โดยจากการศึกษาพบว่าไไฮโดรเจนแรคิคอล (H^-) จะทำหน้าที่เป็นตัวออกซิเดนซ์หลักในปฏิกิริยาไฟโตแคตาลิสต์ เนื่องจากไไฮโดรเจนแรคิคอล (H^-) เป็นสารที่ໄວต่อการเกิดปฏิกิริยา

เนื่องจากไ媳ดรอกซิลแรคิคอล (OH^-) และช่องว่างที่พิวของตัวแคตาลิสต์ มีคุณสมบัติเป็นประจุบวก การออกซิไดซ์ของช่องว่างกับไ媳ดรอกไซด์ไอ้อน (OH^-) จะเกิดไ媳ดรอกซิลแรคิคอล (OH^-) และขณะเดียวกันช่องว่างจะเกิดการออกซิไดซ์กับสารอินทรีย์ด้วย แสดงดังภาพที่ 5



ภาพที่ 5 กลไกการกำจัดคลอโรฟีนอล ด้วยปฏิกิริยาไฟโตแคตาไลติกส์ของบิสมัชวนาเดต ภายใต้การฉายแสงวิสิเบิล^[34]

ดังนั้นการเกิดปฏิกิริยาออกซิเดชันของปฏิกิริยาไฟโตแคตาไลติกส์ จึงเกิดได้ 2 กระบวนการ คือ

1. การเกิดปฏิกิริยาออกซิเดชันของช่องว่างกับไ媳ดรอกไซด์ไอ้อน (OH^-) และน้ำ (H_2O) เกิดเป็นไ媳ดรอกซิลแรคิคอล (OH^-) และปฏิกิริยารีดักชันของอิเล็กตรอนกับออกซิเจน (O_2)

หรือไฮโคลเจนไอออน (H^+) เกิดเป็นซูปเปอร์ออกไซด์ไอออนแรดิคอล (O_2^-) เปอร์ไฮดรอกซิลแรดิคอล-ออกไซด์ (HO^\cdot) และไฮโคลเจนแรดิคอล (H^\cdot)

2. การเกิดปฏิกิริยาออกซิเดชันของสารอินทรีย์ที่ดูดติดบนไฮดรา (Hole) ของตัวแคตาลิสต์ ดังนั้นการเกิดปฏิกิริยาไฟโตแคตาไลติกส์ พบว่า ตัวปฏิกิริยาหลักที่เกิดขึ้น คือ ไฮดรอกซิลแรดิคอล (OH^\cdot) กับสารอินทรีย์ ส่วนการเกิดปฏิกิริยาระหว่างช่องว่างกับสารอินทรีย์นั้นเป็นปฏิกิริยารอง ซึ่งเกิดขึ้นได้น้อยกว่า

วัตถุประสงค์ของการวิจัย

1. เพื่อศึกษาวิธีการเตรียมผงบิสมัชوانาเดต โดยวิธีไมโครเวฟ
2. เพื่อศึกษาคุณสมบัติทางกายภาพและเคมีของผงบิสมัชوانาเดต
3. เพื่อศึกษาปฎิกริยาไฟฟอโตแคตาไลติกส์ของผงบิสมัชوانาเดตในการสลายตัวของเมทโซมิล
4. เพื่อนำความรู้ที่ได้ไปประยุกต์ใช้ในการกำจัดเมทโซมิลที่ปนเปื้อนในแหล่งน้ำธรรมชาติจากกิจกรรมทางภาคเกษตรกรรม

ประโยชน์ที่คาดว่าจะได้รับ

1. สามารถเตรียมและพัฒนาสารประเภทไฟฟอโตแคตาไลส์ที่เตรียมได้โดยวิธีไมโครเวฟ
2. สามารถกำจัดเมทโซมิลที่ปนเปื้อนในแหล่งน้ำธรรมชาติ จากกิจกรรมทางภาคเกษตรกรรม
3. นำความรู้ที่ได้ไปประยุกต์และพัฒนาผลิตภัณฑ์สารประเภทไฟฟอโตแคตาไลส์ สำหรับการใช้กำจัดของเสียที่อยู่ในรูปของเมทโซมิลในโรงงานอุตสาหกรรมการผลิตยาปราบศัตรูพืช โดยมีภาครัฐและภาคเอกชนร่วมมือกัน ให้อยู่ความรู้แก่ประชาชน
4. สามารถนำเสนอผลงานทางวิชาการในที่ประชุมระดับชาติและระดับนานาชาติ
5. สามารถเผยแพร่ผลงานทางวิชาการในวารสารระดับชาติและระดับนานาชาติ

การตรวจเอกสาร

Bhattacharya, A. K. และคณะ (1997)^[35] ได้ทำการศึกษาการเตรียมบิสมัชوانาเดต โดยวิธี ตกตะกอนร่วมทางเคมี สารตั้งต้นที่ใช้คือ บิสมัชไนเตรตและแอมโมเนียมวนานาเดต ทำการ ตกตะกอนด้วยสารละลายแอมโมเนียมไฮดรอกไซด์ ที่มีการควบคุมค่าความเป็นกรด-ค่างและ อุณหภูมิ พบร้า สามารถเตรียมบิสมัชوانาเดตที่มีโครงสร้างเป็นแบบโนโนคลินิกได้

Ying Zhou และคณะ (2010)^[36] ศึกษาการเตรียมผงบิสมัชوانาเดต โดยวิธีไฮโอดเรอร์mol สารตั้งต้นที่ใช้ คือ บิสมัชไนเตรต เพนต้าไฮเดรต ($\text{Bi}(\text{NO}_3)_3 \cdot 5\text{H}_2\text{O}$) และวนานาเดียมเพนทอกไฮด์ (V_2O_5) และโพแทสเซียมชัลไฟต์ (K_2SO_4) ให้ความร้อนในระบบเท่ากับ 200 องศาเซลเซียส เป็นเวลา 24 ชั่วโมง ในการทดลองได้ปรับสภาวะการทดลองเป็น 5 สภาวะการทดลอง โดยมีลักษณะเป็น BiVO_4 (1), BiVO_4 (2), BiVO_4 (3), BiVO_4 (4) และ BiVO_4 (5) พบร้า ลักษณะโครงสร้างของ ผงบิสมัชوانาเดต ทั้ง 5 สภาวะการทดลอง เป็นแบบโนโนคลินิก เมื่อเทียบกับ Joint Committee on Powder Diffraction Standards (JCPDS) หมายเลข 75–2480 มีค่าขนาดผลึก เท่ากับ 150 นาโนเมตร และจากการวิเคราะห์ขนาดอนุภาคโดยกล้องจุลทรรศน์อิเล็กตรอนแบบส่องผ่าน มีค่าอนุภาคอยู่ ในช่วง 100–300 นาโนเมตร

Hirota, K. และคณะ (1992)^[37] ได้ทำการเตรียมบิสมัชوانาเดต โดยวิธีชอล-เจล สารตั้งต้น ที่ใช้ คือ บิสมัชไนเตรตและวนานาเดียมเพนทอกไฮด์ ในสารละลายเอทานอลที่อุณหภูมิสูง จะ เกิดปฏิกิริยาการไฮโอดร่าઇซ์เกิดขึ้น เมื่อเติมน้ำในปริมาณมากเกินพอยู่ในสารละลายเอทานอล จนน้ำทำการเติมอะซิติด อะซิโตน จะเกิดชอล ซึ่งเป็นอนุภาคคลอโลยด์แขวนลอยในสารละลาย ปล่อยให้สารละลายระเหย โดยการผ่านความร้อน หลังจากนั้นเกิดเจล จากนั้นนำไปเผาเคลือบ ได้บิสมัชوانาเดต ที่มีโครงสร้างเป็นแบบโนโนคลินิก ที่มีขนาดอนุภาค 45 นาโนเมตร

Wei Liu และคณะ (2010)^[38] ศึกษาการเตรียมผงบิสมัชوانาเดตให้มีลักษณะโครงสร้างเป็น แบบโนโนคลินิก โดยวิธีไฮโอดเรอร์molอย่างง่าย (simple ionothermal treatment) ตัวทำละลายที่ ใช้คือ ยูเรีย/คลอโรรีน คลอไรด์ (urea/choline chloride) สารตั้งต้นที่ใช้ คือ บิสมัชไนเตรต เพนต้าไฮเดรต ($\text{Bi}(\text{NO}_3)_3 \cdot 5\text{H}_2\text{O}$) และแอมโมเนียม เมทาวนานาเดต (NH_4VO_3) ให้ความร้อนในระบบที่อุณหภูมิ 150 องศาเซลเซียส เป็นเวลา 15 ชั่วโมง พบร้า ผงบิสมัชوانาเดต มีลักษณะโครงสร้างเป็นแบบโน โนคลินิกแบบซีໄโลท มีค่า lattice constants เท่ากับ $a = 0.7331$ นาโนเมตร $b = 0.7331$ นาโนเมตร และ $c = 0.6462$ นาโนเมตร เมื่อเปรียบเทียบกับข้อมูลมาตรฐาน JCPDS No. 48–0744 ที่มีค่า lattice constants เท่ากับ $a = 0.7300$ นาโนเมตร $b = 0.7300$ นาโนเมตร และ $c = 0.6457$ นาโนเมตร มี

ลักษณะอนุภาคเป็นแบบแท่ง มีขนาดความยาวเท่ากับ 8–10 ไมโครเมตร ความหนาเท่ากับ 100 นาโนเมตร

Ren, L. และคณะ (2009)^[39] การเตรียมบิสมัชوانาเดต โดยวิธีโซโลฟอร์มอล สามารถเตรียมได้ในสารละลายอุ่นหลักันน้ำในอัตราส่วน เท่ากับ 3:1 โดยพบว่า บิสมัชوانาเดต มีความยาว เท่ากับ 200 นาโนเมตรและมีความหนา เท่ากับ 30 นาโนเมตร ซึ่งขนาดดังกล่าวจะขึ้นอยู่กับระยะเวลาที่ทำการทดลอง

Zhang, H.M. และคณะ (2008)^[40] การเตรียมบิสมัชوانาเดต โดยวิธีในไครเวฟ สารตั้งต้นที่ใช้ คือ บิสมัชในเกรตกับโซเดียมวนานาเดต ภายใต้เงื่อนไขของสภาพการเตรียม คือ เวลาและพลังงานของคลื่นในไครเวฟ ทำการตรวจสอบโดยใช้เครื่องเอกซ์เรย์ดิฟแฟร์เคนติกโตรีเซอร์ พบร่วมกับ บิสมัชوانาเดตที่เตรียมได้มีลักษณะโครงสร้างเป็นแบบเตตระ โภนอลและโนโนคลินิก

Tomašević, A. และคณะ (2010)^[41] ได้ทำการศึกษาปฏิกริยาไฟโตแคต้าไลติกส์ในการถ่ายตัวของสารกำจัดแมลงเมทโซมิลในน้ำ โดยชีโวไลต์ พบร่วมกับอัตราการถ่ายตัวของสารตัวของเมทโซมิลสามารถหาได้โดยเทคนิคอัลตราไวโอล็อต สเปกโตรเมตريและโกรมาโทกราฟีของเหลว สมรรถนะสูง โดยความเข้มข้นของสารกำจัดแมลงเมทโซมิล เท่ากับ 16.22 มิลลิกรัมต่อลิตร สามารถถ่ายตัวอย่างสมบูรณ์ 100 เปอร์เซ็นต์ ในระยะเวลา 4 ชั่วโมง

Pookmanee, P. และคณะ (2009)^[42] ได้ทำการเตรียมบิสมัชوانาเดต โดยวิธีโซโลฟอร์มอล สารตั้งต้นที่ใช้ คือ บิสมัชในเกรตและแอมโนเนียมวนานาเดต ด้วยอัตราส่วนโดยโอมอล เท่ากับ 1:1 ปรับสารละลายสุดท้าย ด้วยสารละลายโซเดียมไฮดรอกไซด์ ให้มีค่าความเป็นกรด-ด่าง เท่ากับ 7 นำเข้าเครื่องโซโลฟอร์มอล ที่อุณหภูมิ เท่ากับ 100 องศาเซลเซียส เป็นเวลา 2-6 ชั่วโมง พบร่วมกับ บิสมัชوانาเดตที่ได้มีโครงสร้างเป็นแบบโนโนคลินิก มีช่วงขนาดอนุภาค เท่ากับ 200-700 นาโนเมตร

Tomašević, A. และคณะ (2009)^[43] ได้ทำการศึกษาการถ่ายตัวของเมทโซมิล โดยผงไฟฟานียม ไดออกไซด์และซิงค์ออกไซด์ ภายใต้แสงอัลตราไวโอล็อต ความยาวคลื่น 366 นาโนเมตร พบร่วมกับ การถ่ายตัวสารละลายเมทโซมิล เข้มข้น 2.0 กรัมต่อลิตร ของผงซิงค์ออกไซด์มีประสิทธิภาพได้ดีกว่าผงไฟฟานียม ไดออกไซด์

อุปกรณ์และวิธีการ

สารเคมี

ตารางที่ 4 สารเคมีที่ใช้ในการวิจัย

ชื่อสารเคมี	เกรด/ความ บริสุทธิ์	บริษัทผู้ผลิต	ประเทศ
1. Acetic acid	99.7 % v/v	RCI Labscan	Thailand
2. Acetonitrile	99.9 % v/v	RCI Labscan	Thailand
3. Ammonium hydroxide	29.4 % v/v	J.T. Beak	USA
4. Ammonium vanadate	99.5 % w/v	Ajax	Australia
5. Bismuth nitrate pentahydrate	99.0 % w/v	Ajax	Australia
6. Ethanol	99.8 % v/v	Merck	Germany
7. Nitric acid	65.0 % v/v	Merck	Germany
8. 2-Propanol	99.7 % w/v	RCI Labscan	Thailand

ตารางที่ 5 เครื่องมือและอุปกรณ์ที่ใช้ในการวิจัย

เครื่องมือและอุปกรณ์	บริษัทผู้ผลิตและรุ่น	ประเทศ
1. กล้องจุลทรรศน์อิเล็กตรอนแบบส่อง กราด (Scanning electron microscope)	JEOL JSM-5410LV	Japan
2. โกร่งบด (Motar)	-	-
3. เครื่องเคลือบทองคำทรายสูญญากาศ (Fine coater)	JEOL JFC 1200	Japan
4. เครื่องไฮเพอร์ฟอกซ์ของเหลวสมรรถนะ สูง (High performance liquid chromatograph)	Agilent HP 1100 series	USA
5. เครื่องชั่งชนิด 4 ตัวแหน่ง (Analytical balance)	Mettle Toledo AB304-5	Switzerland
6. เครื่องฟูเรียร์ทรานส์ฟอร์มอินฟราเรด สเปกโตรมิเตอร์ (Fourier transform infrared spectrometer)	PerkinElmer SpectrumRX I	USA
7. เครื่องไมโครเวฟ (Microwave)	Samsung MW71B	Malasia
8. เครื่องวัดการกระจายพลังงาน สเปกโตร ไฟฟ์มิเตอร์ (Energy dispersive X-ray spectrophotophotometer)	Oxford IncaPentaFET×3	England
9. เครื่องวัดค่าพีเอช (pH meter)	Metrohm Swissmade	Switzerland
10. เครื่องอัลตราโซนิก (Ultrasonic)	Labquid 136H	England
11. เครื่องเอกซ์เรย์ดิฟเฟรกต์โตรมิเตอร์ (X-ray diffractometer)	Bruker D8 Advance	Germany

12. ตู้อบอุณหภูมิ (Hotbox oven size 2)	Thai Polymedic Gallenkamp	Thailand
13. แผ่นกรอง (Filter)	FILTREX 0.45 micron, 15 mm	Thailand
14. หลอดวิสิเบิล (Visible lamp)	Lumax Ecoeule LED 8W	China

วิธีการวิจัย

1. การเตรียมสารละลาย

1. การเตรียมสารละลายกรดไฮดรอกไซด์ ความเข้มข้น 2.0 โมลาร์

ปั๊ปเปตสารละลายกรดไฮดรอกไซด์ เข้มข้น 65 % ปริมาตร 34.63 มิลลิลิตร ใส่ลงขวดวัดปริมาตรขนาด 250 มิลลิลิตร ปรับปริมาตรด้วยน้ำประจากไออกอนในขวดวัดปริมาตรขนาด 250 มิลลิลิตร จนมีปริมาตรครบ

2. การเตรียมสารละลายแอมโมเนียมไฮดรอกไซด์ ความเข้มข้น 1.0 โมลาร์

ปั๊ปเปตสารละลายแอมโมเนียมไฮดรอกไซด์ เข้มข้น 29.4 % ปริมาตร 33.19 มิลลิลิตร ใส่ลงขวดวัดปริมาตรขนาด 250 มิลลิลิตร ปรับปริมาตรด้วยน้ำประจากไออกอนในขวดวัดปริมาตรขนาด 250 มิลลิลิตร จนมีปริมาตรครบ

3. การเตรียมสารละลาย 2-โพรพานอล ความเข้มข้น 5.0 โมลาร์

ปั๊ปเปตสารละลาย 2-โพรพานอล เข้มข้น 99.7 % ปริมาตร 96.00 มิลลิลิตร ใส่ลงขวดวัดปริมาตรขนาด 250 มิลลิลิตร ปรับปริมาตรด้วยน้ำประจากไออกอนในขวดวัดปริมาตรขนาด 250 มิลลิลิตร จนมีปริมาตรครบ

4. การเตรียมสารละลายนิสมัชไนเทրต ความเข้มข้น 0.125 โมลาร์

ชั้งบิสมัชไนเทรต เพนตะไฮเดรต หนัก 6.1558 กรัม ละลายด้วยสารละลายกรดไฮดรอกไซด์ เข้มข้น 4.0 โมลาร์ ปริมาตร 40 มิลลิลิตร ในบีกเกอร์ 100 มิลลิลิตร คนสารละลายด้วยแท่งคนแม่เหล็ก จนสารละลายหมด เทสารละลายลงในขวดปริมาตรขนาด 100 มิลลิลิตร แล้วปรับปริมาตรด้วยสารละลาย 2-โพรพานอลในขวดวัดปริมาตร จนมีปริมาตรครบ

5. การเตรียมสารละลายแอมโมเนียมวนาเดต ความเข้มข้น 0.125 โมลาร์

ชั้งแอมโมเนียมวนาเดต หนัก 1.4696 กรัม ละลายด้วยน้ำปราศจากไออกอน ปริมาตร 40 มิลลิลิตร ในบีกเกอร์ 100 มิลลิลิตร คนสารละลายด้วยแท่งคนแม่เหล็ก จนสารละลายหมด เทสารละลายลงในขวดปริมาตรขนาด 100 มิลลิลิตร แล้วปรับปริมาตรด้วยสารละลาย 2-โพรพานอล ในขวดวัดปริมาตร จนมีปริมาตรครบ

6. การเตรียมสารละลายเมทโซมิล ความเข้มข้น 100 มิลลิกรัมต่อลิตร

ชั้งเมทโซมิล หนัก 0.01 กรัม ละลายด้วยน้ำปราศจากไออกอนในบีกเกอร์ขนาด 100 มิลลิลิตร คนสารละลายด้วยแท่งแก้วคนสารจนสารละลายหมด เทสารละลายลงในขวดปริมาตรขนาด 100 มิลลิลิตร แล้วปรับปริมาตรด้วยน้ำปราศจากไออกอนในขวดวัดปริมาตร จนมีปริมาตรครบ

7. การเตรียมสารละลามาตรฐานเมทโซมิล

ปีเปตสารละลายเมทโซมิล ความเข้มข้น 100 มิลลิกรัมต่อลิตร ปริมาตร 1.00, 2.00, 2.50, 3.00, 4.00 และ 5.00 มิลลิลิตร ตามลำดับ ลงในขวดปริมาตรขนาด 50 มิลลิลิตร

ปรับปริมาตรด้วยน้ำปราศจากไออกอนในขวดปริมาตร จนมีปริมาตรครบ ได้สารละลายมาตรฐานเมทโซมิล ที่มีความเข้มข้น 2.0, 4.0, 5.0, 6.0, 8.0 และ 10.0 มิลลิกรัมต่อลิตร ตามลำดับ

2. การเตรียมผงบิสมัชวนาเดต โดยวิธีไมโครเวฟ

- นำสารละลายบิสมัชในเทรต ความเข้มข้น 0.125 โมลาร์ ปริมาตร 100 มิลลิลิตร และสารละลายแอมโมเนียมวนาเดต ความเข้มข้น 0.125 โมลาร์ ปริมาตร 100 มิลลิลิตร

- ผสมสารละลายทั้งสองในบีกเกอร์ขนาด 400 มิลลิลิตร ภายใต้การคนด้วยแท่งแม่เหล็กคนสาร ได้ตะกอนสีเหลือง

- ปรับพีอีช (pH) ให้ได้เท่ากับ 7 ด้วยสารละลายแอมโมเนียมไอกอรอกไซด์ ความเข้มข้น 1.0 โมลาร์

- นำสารละลายให้ความร้อนโดยเครื่องไมโครเวฟ ที่กำลังไฟฟ้า 600, 700 และ 800 วัตต์ ที่เวลา 2, 4 และ 6 นาที ตามลำดับ

- กรองสารละลายที่ได้ด้วยกระดาษกรอง เบอร์ 1

- อบตะกอนที่อุณหภูมิ 100 องศาเซลเซียส เป็นเวลา 24 ชั่วโมง

3. การตรวจสอบลักษณะเฉพาะของผงบิสมัชوانาเดต

1. การตรวจสอบลักษณะโครงสร้าง โดยเครื่องอีกซเรย์ดิฟเฟรนกโตมิเตอร์

1. นำผงบิสมัชوانาเดตที่เตรียมได้ โดยไม่ผ่านการเผาแคลไชน์ ทำการบดให้ละเอียด
2. นำมาอัดในช่องกลางของแผ่นยึดสารตัวอย่าง ทำการเกลี่ยผิวด้านบนของสารให้เรียบ
3. ทำการวิเคราะห์ด้วยเครื่องอีกซเรย์ดิฟเฟรนกโตมิเตอร์
4. นำข้อมูลที่ได้ไปเปรียบเทียบกับข้อมูลในแฟ้มมาตรฐาน

2. การตรวจสอบลักษณะสัณฐานวิทยา โดยกล้องจุลทรรศน์อิเล็กตรอนแบบส่องกราด และ การตรวจสอบองค์ประกอบทางเคมี โดยเครื่องวัดการกระจายพลังงานสเปกโกรามิเตอร์

1. นำผงบิสมัชوانาเดตที่เตรียมได้ โดยไม่ผ่านการเผาแคลไชน์ ทำการบดให้ละเอียด และทำให้เป็นสารขนาดเล็ก โดยการนำไปกระจายตัวในตัวทำละลายที่เหมาะสม คือ เอทานอลบรูสุทช์
2. นำไปกระจายตัวในเครื่องอัลตราโซนิก ประมาณ 30 นาที
3. นำตะกอนที่แขวนลอยในเอทานอลดังกล่าว หยดใส่สตับ (Stub) ที่ติดด้วยทองแดง เทป แล้วทิ้งไว้ให้แห้งและนำสตับไปเคลือบด้วยทอง โดยเครื่องเคลือบทอง (Fine coater) ด้วย กระแสไฟฟ้า 15 มิลลิแอมเปอร์ นาน 150 วินาที
4. นำไปวิเคราะห์หลักของทางสัณฐาน โดยกล้องจุลทรรศน์อิเล็กตรอนแบบส่องกราด และวิเคราะห์หาองค์ประกอบทางเคมี โดยเครื่องวัดการกระจายพลังงานสเปกโกรามิเตอร์

3. การตรวจสอบพูฟฟ์ฟังก์ชัน โดยเครื่องฟูเรียร์กรานสฟอร์มอินฟราเรด สเปกโกรามิเตอร์

1. นำผงบิสมัชوانาเดตที่เตรียมได้ โดยไม่ผ่านการเผาแคลไชน์ โดยทำการบดให้ละเอียด
2. ชั่งตะกอนที่เตรียมได้หนัก 0.001 กรัม และโพแทสเซียมไบร์ไนค์หนัก 0.01 กรัม ลงในโกร่งบด ทำการบดสารให้เข้ากัน
3. นำไปอัดด้วยความดัน 1500–2000 ปอนด์ต่อตารางนิ้ว ให้กล้ายเป็นแผ่นบาง (KBr pellet) นำแผ่นบางวางลงบนแผ่น (Pellet) เอาสก็อตเทปปิดเพื่อยึดสารตัวอย่างไว้กับ sample holder

4. นำไปวิเคราะห์ตรวจสอบหมู่ฟังก์ชัน โดยพูเรียร์ทرانส์ฟอร์มอินฟาร่าเดสเปก โตรมิเตอร์

4. ศึกษาปฏิกริยาไฟโตแคต้าไลติกส์ของผงบิสมัชوانาเดตในการสลายเมทโซมิล โดยเครื่องโครม่า โทกราฟของเหลวสมรรถนะสูง

1. การเตรียมสภาวะของเครื่องโครม่าโทกราฟของเหลวสมรรถนะสูง แสดงดังตารางที่ 6
ตารางที่ 6 สภาวะการทำงานของเครื่องโครม่าโทกราฟของเหลวสมรรถนะสูง

ปัจจัย	สภาวะ
อุ่นห้อง/ร้อน/ประเทศไทย	Agilent, 1100 series, USA
ปริมาณสารที่ฉีด	20 ไมโครลิตร
ชนิดของลัมมน์	Hypersil ODS C-18 (4.0×250 มิลลิเมตร)
อัตราส่วนของเฟสเคลื่อนที่	อะเซตอิไนไตรอล : น้ำ เท่ากับ 30 : 70
อัตราการไหลของเฟสเคลื่อนที่	1 มิลลิลิตรต่อนาที
ชนิดตัวตรวจวัด	DAD detector
ความยาวคลื่นของการตรวจวัด	234 นาโนเมตร (เมทโซมิล)

2. การศึกษาการสลายตัวของสารละลายเมทโซมิล โดยเครื่องโครม่าโทกราฟของเหลว สมรรถนะสูง

1. สารละลายเมทโซมิล ความเข้มข้น 5.00 มิลลิกรัมต่อลิตร ปริมาณ 50 มิลลิลิตร ปิด ด้วยกระดาษฟอยล์ นำไปบรรจุตัวโดยใช้เครื่องอัลตราโซนิก เป็นเวลา 20 นาที

2. ทำการคนด้วยเท่งแม่เหล็ก เป็นเวลา 10 นาที แล้วตั้งทึงไว้ในที่มีด 30 นาที

3. นำสารละลายเมทโซมิล ที่ตั้งทึงไว้ในที่มีด มาทำปฏิกริยาไฟโตแคต้าไลติกส์ ด้วย การฉาบแสงจากหลอดวิสิเบิล ขณะทำปฏิกริยาต้องคนสารละลายตลอดเวลาการทำการทำทดลอง

4. ดูดสารละลายเมทโซมิล มาครั้งละ 1 มิลลิลิตร ที่เวลา 0, 5, 10, 15, 20, 25, 30, 35, 40, 45, 50, 55 และ 60 นาที กรองด้วยแผ่นกรองขนาด 0.45 ไมครอน

5. นำไปวัดหาปริมาณการสลายตัวของสารละลายเมทโซมิล โดยเครื่องโครม่าโทกราฟของเหลวสมรรถนะสูง ตามสภาวะการทำงาน แสดงดังตารางที่ 6

3. การศึกษาปฏิกิริยาโพடแคต้าไอลติกส์การสลายตัวของสารละลายนมิโน้มิลโดยผงนิสมัชนานาเดต จากเครื่องโครมาโทกราฟของเหลวสมรรถนะสูง

1. ชั่งผงนิสมัชนานาเดตที่เตรียมได้ ปริมาณ 0.1000 กรัม ลงในบีกเกอร์ขนาด 100 มิลลิลิตร
2. เติมสารละลายนมิโน้มิล ความเข้มข้น 5.00 มิลลิกรัมต่อลิตร ปริมาณ 50 มิลลิลิตร ปิดด้วยกระดาษฟอยล์ นำไปกระจากตัวโดยใช้เครื่องอัลตราโซนิก เป็นเวลา 20 นาที
3. ทำการคนด้วยแท่งแม่เหล็ก เป็นเวลา 10 นาที แล้วตั้งทึ่งไว้ในที่มีด 30 นาที
4. นำสารละลายนมิโน้มิล ที่ตั้งทึ่งไว้ในที่มีด มาทำปฏิกิริยาโพடแคต้าไอลติกส์ ด้วยการราขแสงจากหลอดวิสิเบิล ขณะทำปฏิกิริยาต้องคนสารละลายนมิโน้มิลโดยการทำการทดลอง
 5. คุณสารละลายนมิโน้มิล มาครั้งละ 1 มิลลิลิตร ที่เวลา 0, 5, 10, 15, 20, 25, 30, 35, 40, 45, 50, 55 และ 60 นาที กรองด้วยแผ่นกรองขนาด 0.45 ไมครอน
 6. นำไปวัดหาปริมาณการสลายตัวของสารละลายนมิโน้มิล โดยเครื่องโครมาโทกราฟของเหลวสมรรถนะสูง ตามสภาวะการทำงาน แสดงดังตารางที่ 6
4. การหาปริมาณนมิโน้มิลที่ปนเปื้อนในแหล่งน้ำธรรมชาติ โดยเครื่องโครมาโทกราฟของเหลวสมรรถนะสูง
 1. เก็บน้ำตัวอย่างจากแหล่งน้ำธรรมชาติ ตำบลบ้านหลวง อำเภอเมือง จังหวัดเชียงใหม่
 2. กรองน้ำตัวอย่างด้วยกระดาษกรอง
 3. นำน้ำตัวอย่างไปวิเคราะห์ปริมาณนมิโน้มิลที่ปนเปื้อนในแหล่งน้ำธรรมชาติ ด้วยการทำ Standard addition method แล้วตรวจวัดด้วยเครื่องเครื่องโครมาโทกราฟของเหลวสมรรถนะสูง ที่มีตัวตรวจวัดชนิด UV detector ตามสภาวะดังตารางที่ 6

ผลการวิจัย

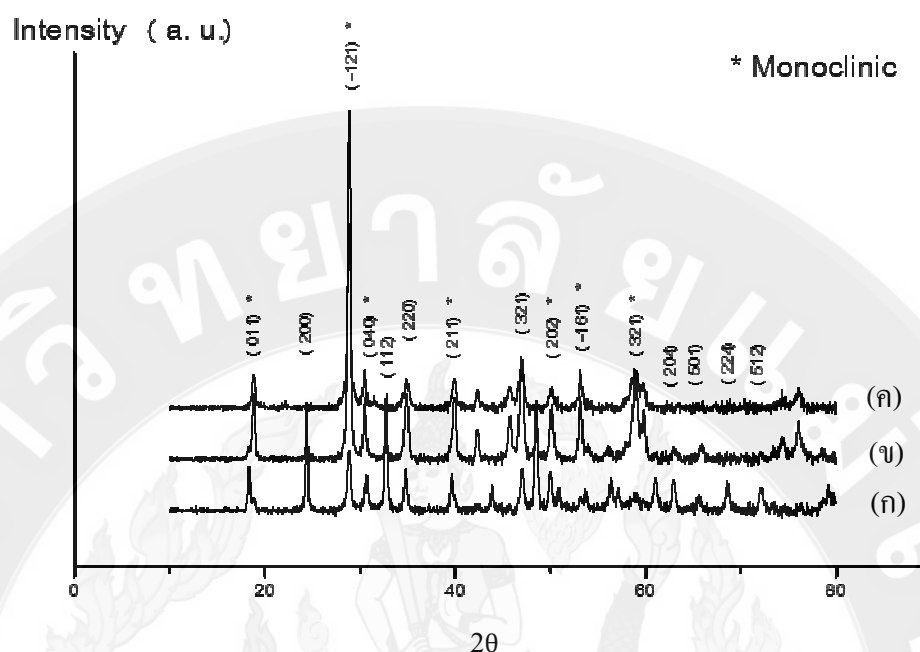
การวิเคราะห์หลักณะเฉพาะของผงบิสมัชوانาเดต

ผงบิสมัชوانาเดตที่เตรียมได้โดยวิธีไนโตรเ辱 ใช้กำลังไฟฟ้า 600, 700 และ 800 วัตต์ ที่เวลา 2, 4 และ 6 นาที ในอัตราส่วนโดยโมลของบิสมัชไนเตรต:แอมโนเนียมวานาเดต เท่ากับ 1:1 โดยมี 2-โพรพานอล เป็นตัวทำละลาย และทำการอบที่อุณหภูมิ 100 องศาเซลเซียส เป็นเวลา 24 ชั่วโมง ได้ผลลัพธ์เหลือง แล้วนำมาศึกษาลักษณะเฉพาะของผงบิสมัชوانาเดต ดังนี้

การตรวจสอบลักษณะโครงสร้างของผงบิสมัชوانาเดต โดยเครื่องอีกซเรย์ดิฟแฟร์กโต มิเตอร์ (XRD)

จากการตรวจสอบลักษณะทางโครงสร้างของผงบิสมัชوانาเดต ที่เตรียมโดยวิธีไนโตรเ辱 โดยเครื่องอีกซเรย์ดิฟแฟร์กโต มิเตอร์ จากภาพที่ 6 (ก-ค) แสดงรูปแบบ XRD ของผงบิสมัชوانาเดตที่เตรียมโดยวิธีไนโตรเ辱 ที่กำลังไฟฟ้า 600 วัตต์ เวลา 2, 4 และ 6 นาที พบรูปแบบ XRD ดังแสดงในภาพที่ 6 (ก-ค) มีโครงสร้างแบบโมโนคลินิกและเตตระโกโนลด หลังการใช้เวลาในการทำปฏิกิริยาเพิ่มขึ้น เมื่อเปรียบเทียบกับข้อมูลมาตรฐาน Joint Committee on Powder Diffraction Standards (JCPDS) หมายเลข 14-0688^[44] และ 14-0133^[45]

จากตารางที่ 7 เมื่อเปรียบเทียบสัดส่วนปริมาตรของเฟสโนโนคลินิกกับเตตระโกโนลดของผงบิสมัชوانาเดตที่เตรียมโดยวิธีไนโตรเ辱 กำลังไฟฟ้า 600 วัตต์ เวลา 2, 4 และ 6 นาที เมื่อเวลาเพิ่มขึ้น พบรูปแบบ XRD ดังแสดงในภาพที่ 6 (ก-ค) พบว่าสัดส่วนปริมาตรของเฟสโนโนคลินิกค่อนกว่าเฟสเตตระโกโนลด



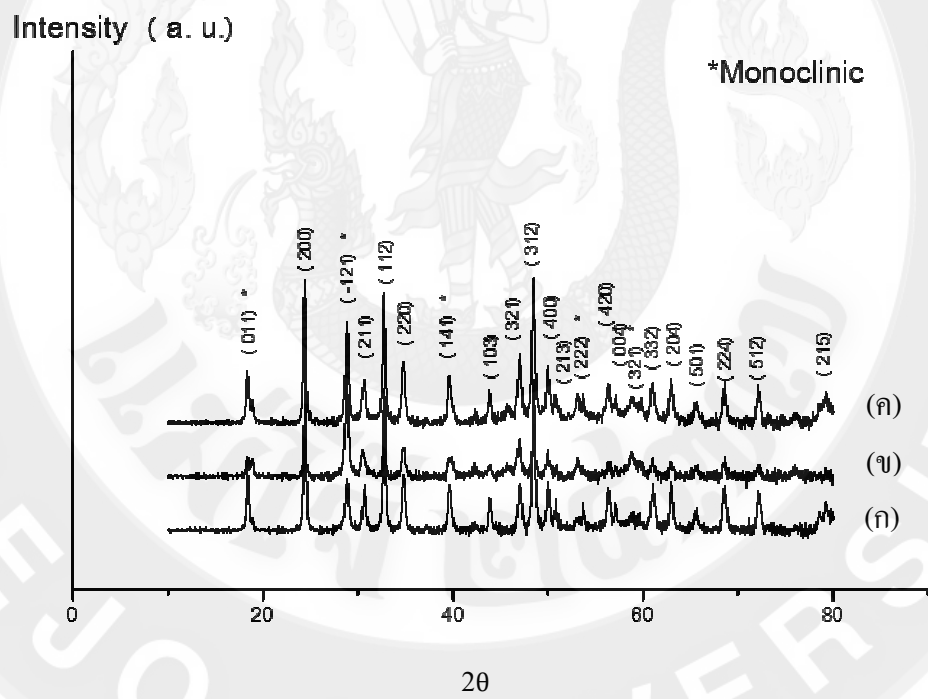
ภาพที่ 6 รูปแบบ XRD ของผงบิสมัชวนานาเดตที่เตรียมโดยวิธีไมโครเวฟ ที่กำลังไฟฟ้า 600 วัตต์ เวลา (ก) 2 (ข) 4 นาที และ (ค) 6 นาที

ตารางที่ 7 สัดส่วนปริมาตรของเฟสระหว่าง โนโนคลินิกกับเตตราะ โภนอลของผงบิสมัชวนานาเดตที่เตรียมโดยวิธีไมโครเวฟ กำลังไฟฟ้า 600 วัตต์ เวลา 2, 4 และ 6 นาที

บิสมัชวนานาเดต		ปริมาตรของเฟส (เปอร์เซ็นต์)	
กำลังไฟฟ้า (วัตต์)	เวลา (นาที)	เตตราะ โภนอล	โนโนคลินิก
BiVO ₄	600	2	63.14
BiVO ₄	600	4	9.08
BiVO ₄	600	6	-
			100

จากการตรวจสอบลักษณะทางโครงสร้างของผงบิสมัชوانาเดต ที่เตรียมโดยวิธีในโครเวฟ โดยเครื่องอีกซเรย์ดิฟแฟรอกโตมิเตอร์ จากภาพที่ 7 (ก-ค) แสดงรูปแบบ XRD ของผงบิสมัชوانาเดตที่เตรียมโดยวิธีในโครเวฟ ที่กำลังไฟฟ้า 700 วัตต์ เวลา 2, 4 และ 6 นาที พบว่า รูปแบบ XRD ดังแสดงในภาพที่ 7 (ก-ค) มีโครงสร้างแบบโมโนคลินิกและเตตระ โภนอล หลังการใช้เวลาในการทำปฏิกิริยาที่เพิ่มขึ้น เมื่อเปรียบเทียบกับข้อมูลมาตรฐาน Joint Committee on Powder Diffraction Standards (JCPDS) หมายเลข 14-0688^[44] และ 14-0133^[45]

จากตารางที่ 8 เมื่อเปรียบเทียบสัดส่วนปริมาตรของเฟสโมโนคลินิกกับเตตระ โภนอลของผงบิสมัชوانาเดตที่เตรียมโดยวิธีในโครเวฟ กำลังไฟฟ้า 700 วัตต์ เวลา 2, 4 และ 6 นาที พบว่า ที่เวลา 2 นาที สัดส่วนปริมาตรของเฟสเตตระ โภนอลเด่นกว่าเฟสโมโนคลินิก



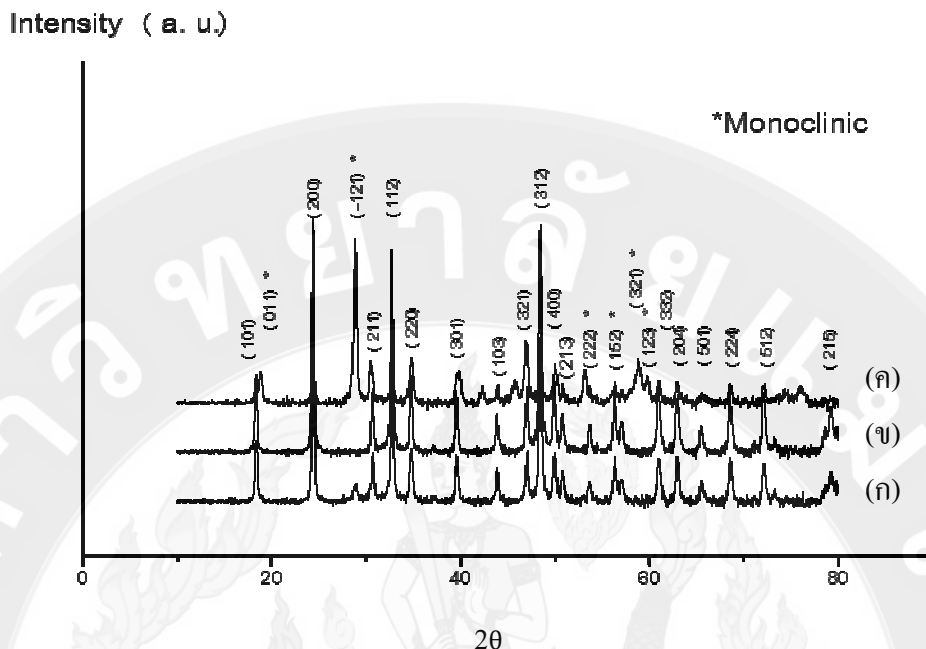
ภาพที่ 7 รูปแบบ XRD ของผงบิสมัชوانาเดตที่เตรียมโดยวิธีในโครเวฟ ที่กำลังไฟฟ้า 700 วัตต์ เวลา (ก) 2 (ข) 4 นาที และ (ค) 6 นาที

ตารางที่ 8 สัดส่วนปริมาตรของเฟสระห่ำงโน โนนคลินิกกับเตตระ โภนอลของผงบิสมัชวนาเดตที่เตรียมโดยวิธีไนโครเวฟ กำลังไฟฟ้า 700 วัตต์ เวลา 2, 4 และ 6 นาที

บิสมัชวนาเดต		ปริมาตรของเฟส (เปอร์เซ็นต์)	
กำลังไฟฟ้า (วัตต์)	เวลา (นาที)	เตตระ โภนอล	โนนคลินิก
BiVO ₄	700	2	73.02
BiVO ₄	700	4	32.82
BiVO ₄	700	6	58.44

จากการตรวจสอบลักษณะทางโครงสร้างของผงบิสมัชวนาเดต ที่เตรียมโดยวิธีไนโครเวฟ โดยเครื่องอีกซเรย์ดิฟแฟร์ก โടมิเตอร์ จากภาพที่ 8 (ก-ค) แสดงรูปแบบ XRD ของผงบิสมัชวนาเดตที่เตรียมโดยวิธีไนโครเวฟ ที่กำลังไฟฟ้า 800 วัตต์ เวลา 2, 4 และ 6 นาที พบร่วมรูปแบบ XRD ดังแสดงในภาพที่ 8 (ก-ค) มีโครงสร้างแบบโนนคลินิกและเตตระ โภนอล หลังการใช้เวลาในการทำปฏิกิริยาที่เพิ่มขึ้น เมื่อเปรียบเทียบกับข้อมูลมาตรฐาน Joint Committee on Powder Diffraction Standards (JCPDS) หมายเลข 14-0688^[44] และ 14-0133^[45]

จากตารางที่ 9 เมื่อเปรียบเทียบสัดส่วนปริมาตรของเฟส โนนคลินิกกับเตตระ โภนอลของบิสมัชวนาเดตที่เตรียมโดยวิธีไนโครเวฟ กำลังไฟฟ้า 800 วัตต์ เวลา 2, 4 และ 6 นาที พบร่วมที่เวลา 4 นาที สัดส่วนปริมาตรของเฟส โนนคลินิกเด่นกว่าเฟสเตตระ โภนอล



ภาพที่ 8 รูปแบบ XRD ของผงบิสมัชวนานาเดตที่เตรียมโดยวิธีไมโครเวฟ ที่กำลังไฟฟ้า 800 วัตต์ เวลา (ก) 2 และ (ข) 6 นาที

ตารางที่ 9 สัดส่วนปริมาตรของเฟสระหว่าง โนโนคลินิกับเตตราะ โภนอลของผงบิสมัชวนานาเดตที่เตรียมโดยวิธีไมโครเวฟ กำลังไฟฟ้า 800 วัตต์ เวลา 2, 4 และ 6 นาที

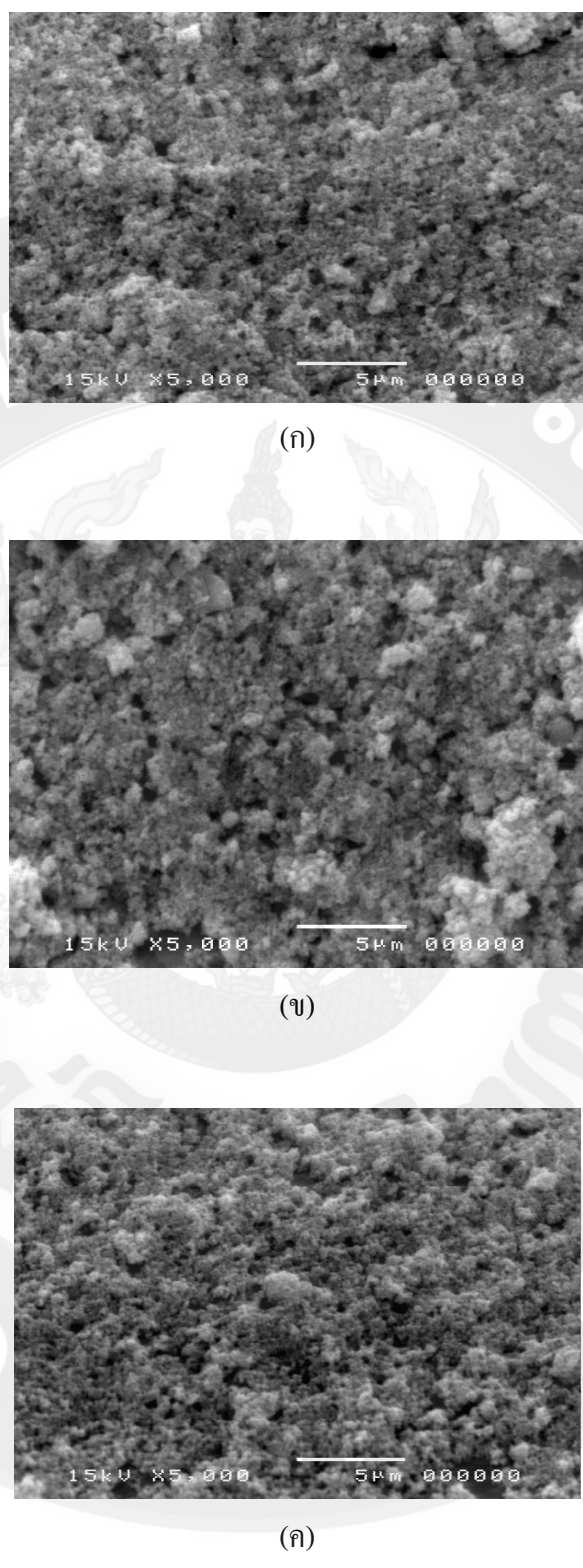
บิสมัชวนานาเดต		ปริมาตรของเฟส (เปอร์เซ็นต์)	
กำลังไฟฟ้า (วัตต์)	เวลา (นาที)	เตตราะโภนอล	โนโนคลินิก
BiVO ₄	800	2	11.68
BiVO ₄	800	4	-
BiVO ₄	800	6	28.14

การตรวจสอบลักษณะสัณฐานวิทยา โดยกล้องจุลทรรศน์อิเล็กตรอนแบบส่องกราด (SEM)

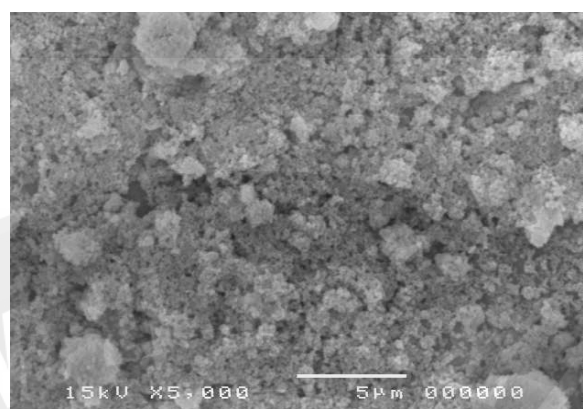
การตรวจสอบลักษณะสัณฐานวิทยาของผงบิสมัชوانาเดต ที่เตรียมโดยวิธีไนโครเวฟ โดยกล้องจุลทรรศน์อิเล็กตรอนแบบส่องกราด จากภาพที่ 9 (ก-ค) แสดง SEM ของผงบิสมัชوانาเดต ที่เตรียมโดยวิธีไนโครเวฟ ที่กำลังไฟฟ้า 600 วัตต์ เวลา 2, 4 และ 6 นาที พบว่า ผงบิสมัชوانาเดตมีลักษณะเป็นผงที่ละเอียด มีรูปร่างที่ไม่แน่นอนค่อนข้างเกลากลุ่มกันเป็นก้อน มีขนาดอนุภาคเฉลี่ยอยู่ระหว่าง 0.1-0.3 ไมโครเมตร

การตรวจสอบลักษณะสัณฐานวิทยาของผงบิสมัชوانาเดต ที่เตรียมโดยวิธีไนโครเวฟ โดยกล้องจุลทรรศน์อิเล็กตรอนแบบส่องกราด จากภาพที่ 10 (ก-ค) แสดง SEM ของผงบิสมัชوانาเดต ที่เตรียมโดยวิธีไนโครเวฟ ที่กำลังไฟฟ้า 700 วัตต์ เวลา 2, 4 และ 6 นาที พบว่า ผงบิสมัชوانาเดตมีลักษณะเป็นผงที่ละเอียด มีรูปร่างที่ไม่แน่นอนค่อนข้างเกลากลุ่มกันเป็นก้อน มีขนาดอนุภาคเฉลี่ยอยู่ระหว่าง 0.3-0.6 ไมโครเมตร

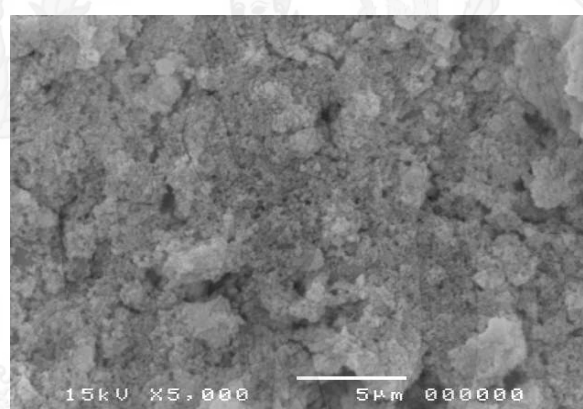
การตรวจสอบลักษณะสัณฐานวิทยาของผงบิสมัชوانาเดต ที่เตรียมโดยวิธีไนโครเวฟ โดยกล้องจุลทรรศน์อิเล็กตรอนแบบส่องกราด จากภาพที่ 11 (ก-ค) แสดง SEM ของผงบิสมัชوانาเดต ที่เตรียมโดยวิธีไนโครเวฟ ที่กำลังไฟฟ้า 800 วัตต์ เวลา 2, 4 และ 6 นาที พบว่า ผงบิสมัชوانาเดตมีลักษณะเป็นผงที่ละเอียด มีรูปร่างที่ไม่แน่นอนค่อนข้างเกลากลุ่มกันเป็นก้อน มีขนาดอนุภาคเฉลี่ยอยู่ระหว่าง 0.7-1.2 ไมโครเมตร



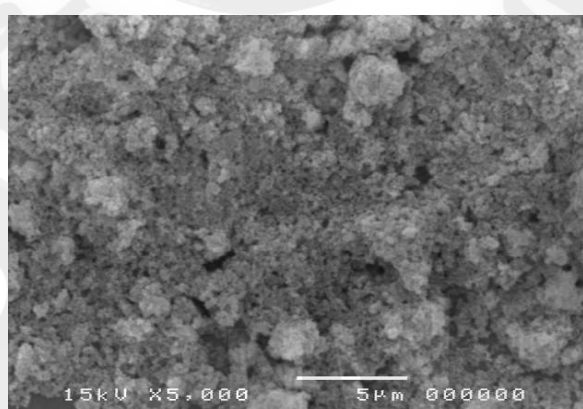
ภาพที่ 9 SEM ของผงบิสมัลวานาเดคที่เตรียมโดยวิธีไมโครเวฟ ที่กำลังไฟฟ้า 600 วัตต์ เวลา (ก) 2 (ข) 4 นาที และ (ค) 6 นาที



(η)

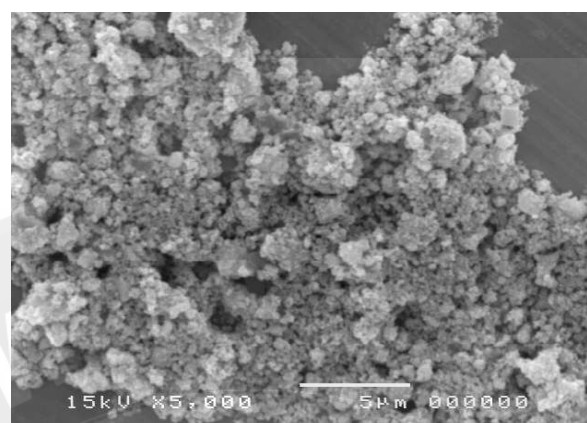


(ψ)

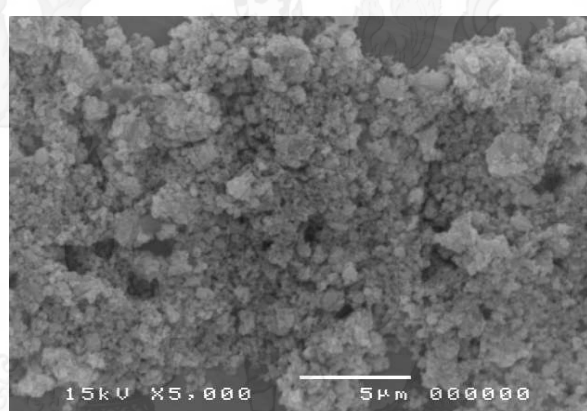


(κ)

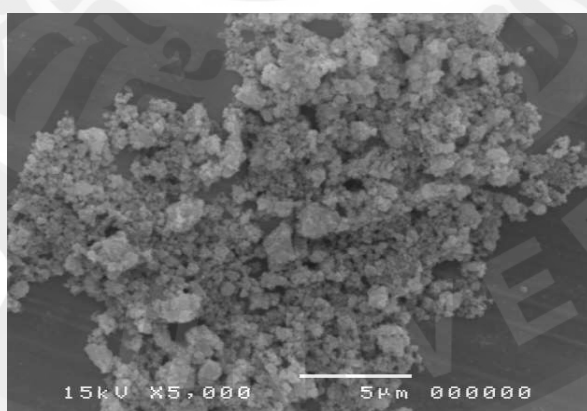
ภาพที่ 10 SEM ของผงบิสมัลวานาเดตที่เตรียมโดยวิธีไนโตรเรฟ ที่กำลังไฟฟ้า 700 วัตต์ เวลา (η) 2 (ψ) 4 นาที และ (κ) 6 นาที



(ก)



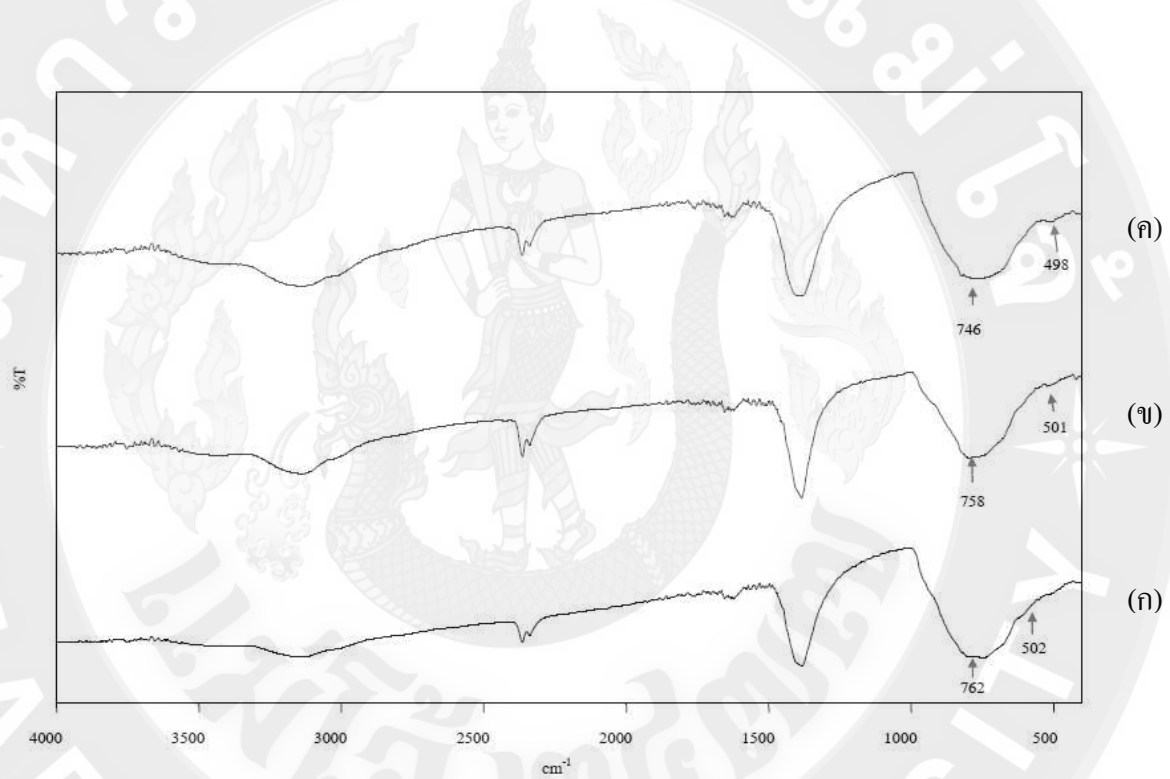
(ก)



(ก)

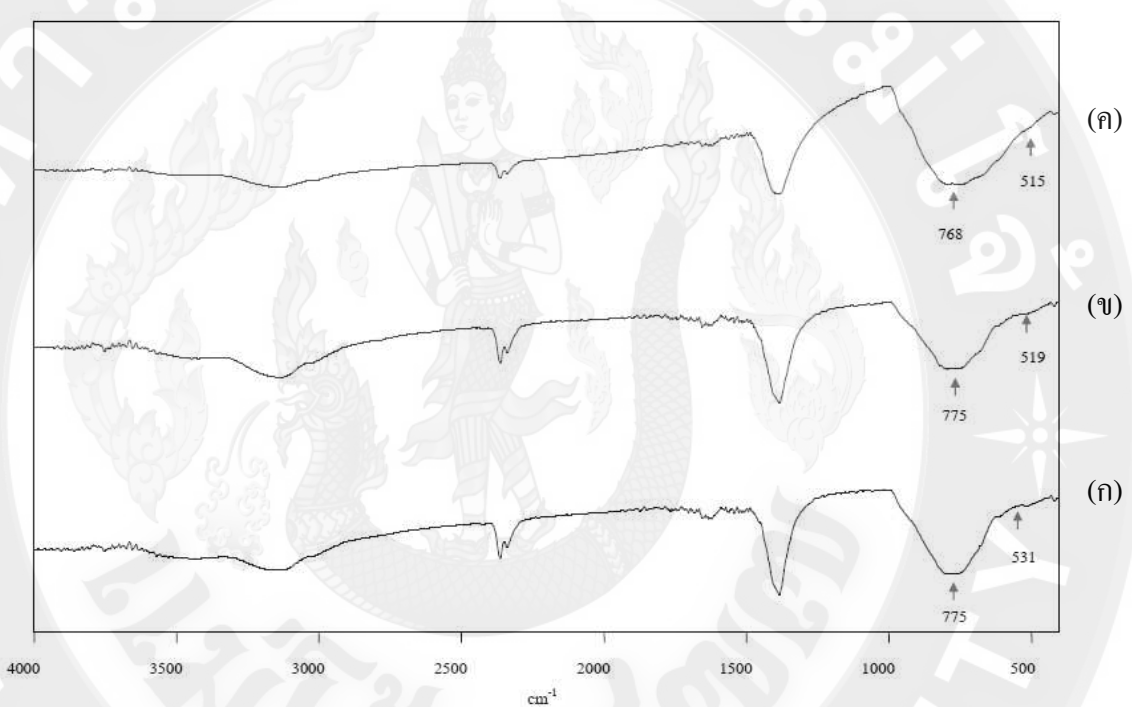
ภาพที่ 11 SEM ของผงบิสมัลชวนานาเดตที่เตรียมโดยวิธีไมโครเวฟ ที่กำลังไฟฟ้า 800 วัตต์ เวลา (ก) 2 (ข) 4 นาที และ (ก) 6 นาที

การตรวจสอบหมู่ฟังก์ชัน โดยเครื่องฟูเรียร์ทรายสฟอร์มอินฟราเรด สเปกโตรมิเตอร์
จากการวิเคราะห์สเปกตัมเพื่อตรวจสอบหมู่ฟังก์ชันของผงบิสมัชوانาเดต ที่เตรียมโดยวิธี
ไมโครเวฟ ที่กำลังไฟฟ้า 600 วัตต์ เวลา 2, 4 และ 6 นาที โดยเครื่องฟูเรียร์ทรายสฟอร์มอินฟราเรด
สเปกโตรมิเตอร์ พบว่า ในช่วงเลขคู่ 498–502 ต่ำเซนติเมตร เป็นการสั่นแบบ bending ของ
พันธะ Bi-O ในช่วงเลขคู่ 746–762 ต่ำเซนติเมตร เป็นการสั่นแบบ stretching VO_4^{3-} แสดงดัง
ภาพที่ 12 (ก-ค)



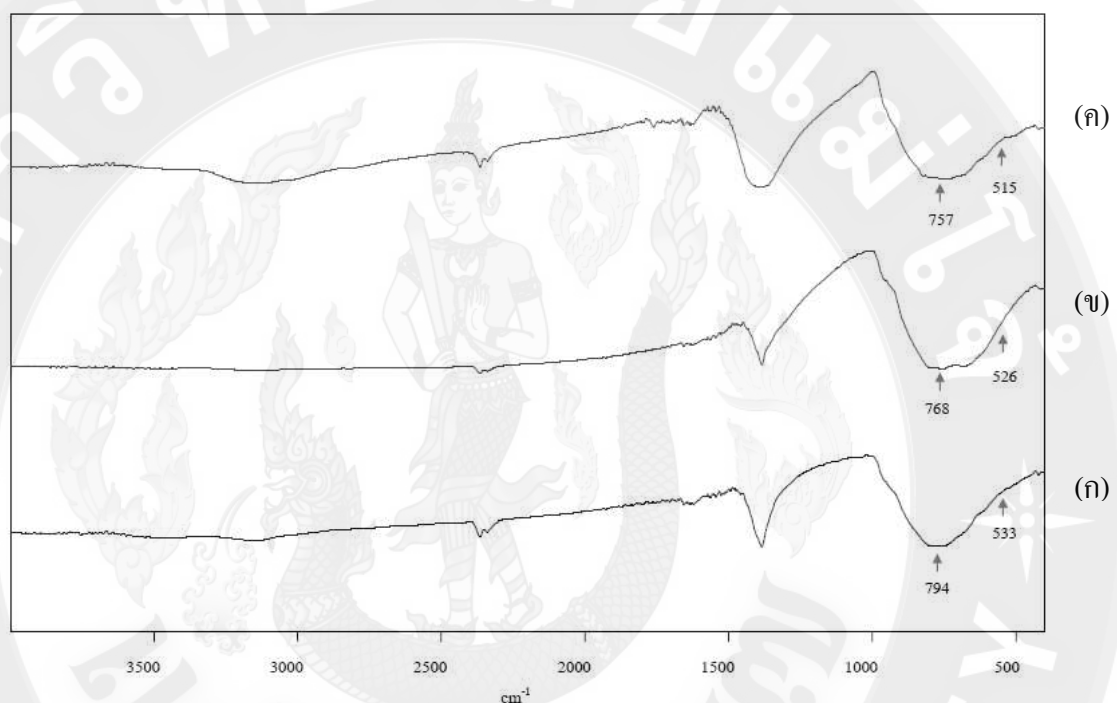
ภาพที่ 12 FTIR สเปกตัมของผงบิสมัชوانาเดต ที่เตรียมโดยวิธีไมโครเวฟ กำลังไฟฟ้า 600 วัตต์
เวลา (ก) 2 นาที (ข) 4 นาที และ (ค) 6 นาที

จากการวิเคราะห์สเปกตรัมเพื่อตรวจสอบหมู่ฟังก์ชันของผงบิสมัชวนาเดต ที่เตรียมโดยวิธีไนโครเวฟ ที่กำลังไฟฟ้า 700 วัตต์ เวลา 2, 4 และ 6 นาที โดยเครื่องฟูเรียร์ทรายสฟอร์มอินฟราเรด สเปกโถร์มิเตอร์ พบว่า ในช่วงเลขคู่ 515–531 ต่ำเซนติเมตร เป็นการสั่นแบบ bending ของพันธะ Bi-O ในช่วงเลขคี่ 768–775 ต่ำเซนติเมตร เป็นการสั่นแบบ stretching VO_4^{3-} และดังภาพที่ 13 (ก-ค)



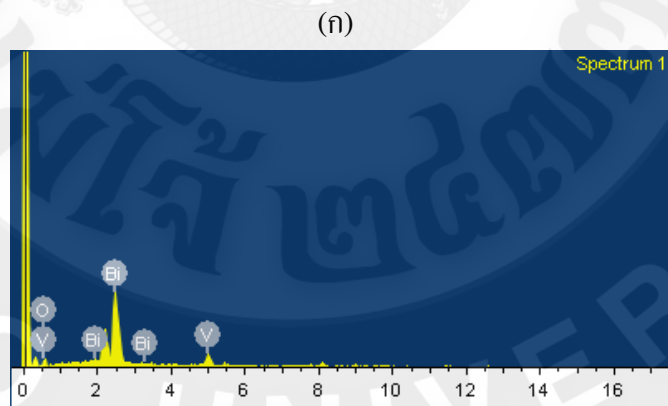
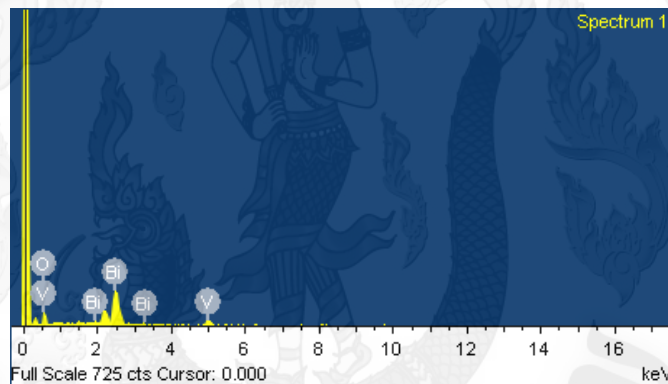
ภาพที่ 13 FTIR สเปกตรัมของผงบิสมัชวนาเดต ที่เตรียมโดยวิธีไนโครเวฟ กำลังไฟฟ้า 700 วัตต์ เวลา (ก) 2 นาที (ข) 4 นาที และ (ค) 6 นาที

จากการวิเคราะห์สเปกตรัมเพื่อตรวจสอบหมู่ฟังก์ชันของผงบิสมัชนาเดต ที่เตรียมโดยวิธีไนโครเวฟ ที่กำลังไฟฟ้า 800 วัตต์ เวลา 2, 4 และ 6 นาที โดยเครื่องฟูเรียร์ทรายสฟอร์มอินฟราเรด สเปกโถร์มิเตอร์ พบว่า ในช่วงเลขคู่ 515–533 ต่ำเซนติเมตร เป็นการสั่นแบบ bending ของพันธะ Bi-O ในช่วงเลขคู่ 757–794 ต่ำเซนติเมตร เป็นการสั่นแบบ stretching VO_4^{3-} และดังภาพที่ 14 (ก-ค)



ภาพที่ 14 FTIR สเปกตรัมของผงบิสมัชนาเดต ที่เตรียมโดยวิธีไนโครเวฟ กำลังไฟฟ้า 800 วัตต์ เวลา (ก) 2 นาที (ข) 4 นาที และ (ค) 6 นาที

การตรวจสอบค์ประกอบทางเคมี โดยเครื่องวัดการกระจายพลังงานสเปกโตรมิเตอร์(EDS) การวิเคราะห์ห้องค์ประกอบทางเคมีของผงบิสมัชوانาเดต ที่เตรียมโดยวิธีไมโครเวฟ โดยเครื่องวัดการกระจายพลังงานสเปกโตรมิเตอร์ พนว่า ผงบิสมัชوانาเดตที่เตรียมโดยวิธีไมโครเวฟ มี องค์ประกอบของธาตุ ได้แก่ ธาตุบิสมัช วานาเดียม และออกซิเจน โดยระดับพลังงานของบิสมัช M_{α} เท่ากับ 2.42 และ 3.19 กิโลอิเล็กตรอนโวลต์ มีระดับพลังงาน L_1 เท่ากับ 9.42 กิโลอิเล็กตรอนโวลต์ มี ระดับพลังงาน L_{α} เท่ากับ 10.8 กิโลอิเล็กตรอนโวลต์ และมีระดับพลังงาน L_{β} เท่ากับ 13.0 กิโล อิเล็กตรอนโวลต์ ที่ระดับพลังงานของวานาเดียม K_{α} เท่ากับ 4.95 กิโลอิเล็กตรอนโวลต์ และที่ระดับ พลังงานของออกซิเจน K_{α} เท่ากับ 0.52 กิโลอิเล็กตรอนโวลต์ ซึ่งมีผลการทดลองสอดคล้องกับ งานวิจัยของ P. Pookmanee และคณะ^[42]



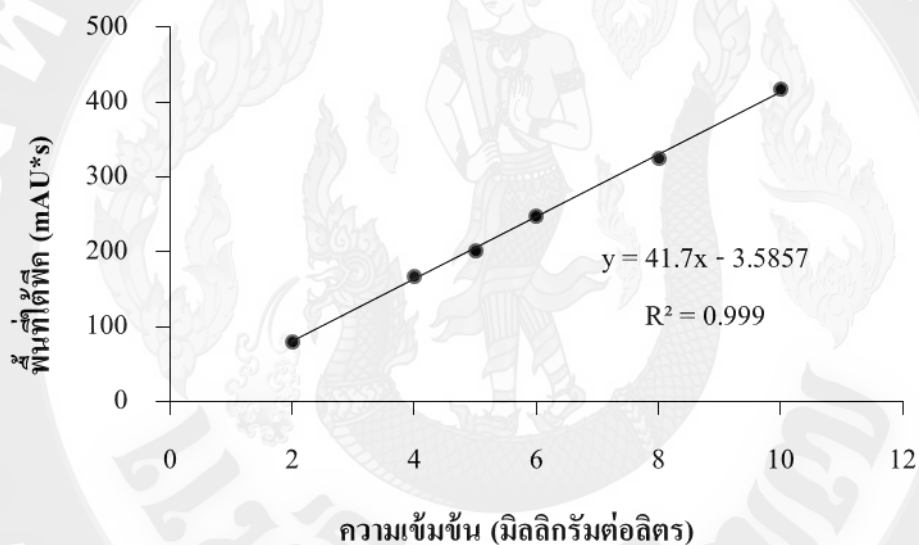
ภาพที่ 15 EDS ของผงบิสมัชوانาเดตที่เตรียมโดยวิธีไมโครเวฟ ที่กำลังไฟฟ้า 600 วัตต์

เวลา (ก) 2 (ข) 4 และ (ค) 6 นาที

การศึกษาปฏิกิริยาไฟฟ้ากระแสสั่นตัวของสารละลายนมทโธมิล โดยผงบิสมัชوانาเดต จากเครื่องโคมไฟฟ้าของเหลวสมรรถนะสูง

1. การศึกษาช่วงความเป็นเส้นตรงของการวิเคราะห์ และการสร้างกราฟมาตราฐาน

จากการศึกษาช่วงความเป็นเส้นตรงของการวิเคราะห์สารละลายนมทโธมิล อยู่ในช่วงความเข้มข้น 2.0-10.0 มิลลิกรัมต่อลิตร โดยใช้เครื่องโคมไฟฟ้าของเหลวสมรรถนะสูง กราฟมาตราฐานของสารละลายนมทโธมิล มีค่าความสัมพันธ์ดังสมการ $y = 41.7x - 3.5857$ โดยมีค่าสัมประสิทธิ์สหสัมพันธ์ เท่ากับ 0.999 แสดงดังภาพที่ 16



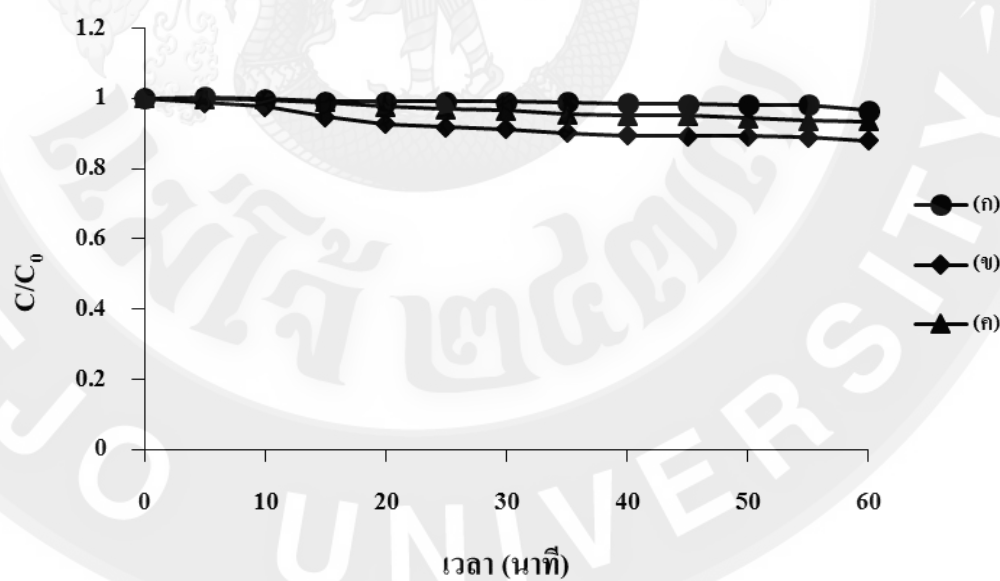
ภาพที่ 16 กราฟมาตราฐานสารละลายนมทโธมิล

2. การศึกษาปฏิกิริยาไฟฟ้ากระแสสั่นตัวของสารละลายนมทโธมิล โดยผงบิสมัชوانาเดต จากเครื่องโคมไฟฟ้าของเหลวสมรรถนะสูง

การศึกษาการถ่ายตัวของสารละลายนมทโธมิล โดยผงบิสมัชوانาเดต ที่เตรียมโดยวิธีไนโครเฟฟ กำลังไฟฟ้า 600 วัตต์ เวลา 2 และ 6 นาที จากผลการทดลอง XRD แสดงภาพที่ 6 พบว่าที่ 2 และ 6 นาที มีลักษณะเป็นโครงสร้างของผงบิสมัชوانาเดตเป็นโมโนคลินิกและเตตราหินออกอลที่มีแนวโน้มของลักษณะโครงสร้างโมโนคลินิกที่เพิ่มขึ้น เมื่อเวลาในการทำปฏิกิริยาเพิ่มขึ้น แสดงดังตารางที่ 7

นำผงบิสมัลวนาเดตที่ใช้เวลาในการทำปฏิกิริยาที่เวลา 2 และ 6 นาที ปริมาณ 0.1000 กรัม มาศึกษาการสลายตัวของสารละลายนมโธมิล โดยเครื่องໂຄຣມາໂທຣກຣາຟของเหลวสมรรถนะสูง ในช่วงเวลา 0–60 นาที

จากผลการศึกษาการสลายตัวของสารละลายนมโธมิล พบว่า เมื่อเพิ่มเวลาในการทำปฏิกิริยาไฟฟ้า 2 วัตต์ เวลา 2 นาที ปริมาณ 0.1000 กรัม มีประสิทธิภาพในการสลายตัวของสารละลายนมโธมิล ในเวลา 120 นาที เท่ากับ 12.04 เปอร์เซ็นต์ และผงบิสมัลวนาเดตที่ได้จากการเตรียมโดยวิธีในໂຄຣເວີຟ ที่กำลังไฟฟ้า 600 วัตต์ เวลา 6 นาที ปริมาณ 0.1000 กรัม มีประสิทธิภาพในการสลายตัวของสารละลายนมโธมิล ในเวลา 120 นาที เท่ากับ 6.48 เปอร์เซ็นต์ แสดงดังภาพที่ 17 (ก-ก) และตารางที่ 10



ภาพที่ 17 การสลายตัวของสารละลายนมโธมิล โดยผงบิสมัลวนาเดตที่เตรียมโดยวิธีในໂຄຣເວີຟ กำลังไฟฟ้า 600 วัตต์ ที่เวลา (ก) ปราศจากผงบิสมัลวนาเดต (ข) 2 นาที และ (ก) 6 นาที

ตารางที่ 10 การสลายตัวของสารเมทโซมิล โดยผงบิสมัชوانาเดดที่เตรียมโดยวิธีไมโครเวฟ

เวลา (นาที)	การสลายตัวของเมทโซมิล (C/C_0)		
	Non-BiVO ₄	BiVO ₄	BiVO ₄
		600 Watt 2 min	600 Watt 6 min
0	1.00	1.00	1.00
5	1.00	0.98	0.99
10	0.99	0.97	0.99
15	0.99	0.94	0.98
20	0.99	0.92	0.97
25	0.99	0.91	0.96
30	0.99	0.91	0.96
35	0.99	0.90	0.95
40	0.98	0.89	0.95
45	0.98	0.89	0.95
50	0.98	0.89	0.94
55	0.98	0.88	0.93
60	0.96	0.87	0.93
% การสลายตัว	3.47	12.04	6.48

3. การหาปริมาณเมทโซมิลที่ป่นเปื้อนในแหล่งน้ำธรรมชาติ โดยเครื่องโกรมาโทกราฟของเหลวสมรรถนะสูง

จากการทดสอบหาปริมาณเมทโซมิล ในตัวอย่างน้ำธรรมชาติจากแหล่งน้ำ 3 แหล่ง โดยเครื่องโกรมาโทกราฟของเหลวสมรรถนะสูง พบว่า ในตัวอย่างน้ำธรรมชาติจากแหล่งน้ำทั้ง 3 แหล่ง ได้แก่ คลองชลประทาน นาข้าว และแม่น้ำพัก พบร่วมกัน มีการตรวจพบในปริมาณที่น้อยกว่า ขีดจำกัดในการตรวจพบ โดยเครื่องโกรมาโทกราฟของเหลวสมรรถนะสูง เนื่องจากช่วงระยะเวลาในการเก็บตัวอย่างนั้น อยู่ระหว่างหลังการเก็บเกี่ยว และเตรียมดินสำหรับการเพาะปลูกครั้งไป ซึ่งการดำเนินนี้ มีขั้นตอนสำคัญดังนี้ การเตรียมดิน การปลูก การเก็บเกี่ยว การนวดข้าว และการเก็บรักษา

หลังจากการปลูกและข้าวอโภคออกหรือออกตรวจประจำณ 20 วัน ชาวนาจะระบายน้ำออก จึงทำให้ตรวจพบปริมาณเมทโซมิลในปริมาณที่ต่ำ ดังนั้นในการทดลองครั้งนี้ จึงไม่ได้ศึกษาการสลายตัวของเมทโซมิลในน้ำธรรมชาติ ดังกล่าว



สรุปและวิจารณ์ผลการวิจัย

การตรวจสอบลักษณะทางโครงสร้างของผงบิสมัชوانาเดต โดยเครื่องอัลกอริธึมแฟร์กโตมิเตอร์ (X-ray Diffraction, XRD)

ผงบิสมัชوانาเดตที่เตรียมได้โดยวิธีไนโตรเฟฟ ใช้กำลังไฟฟ้า 600, 700 และ 800 วัตต์ ที่เวลา 2, 4 และ 6 นาที ในอัตราส่วนโดยไมลของบิสมัชไนเทրต:แอมโมเนียมวานาเดต เท่ากับ 1:1 โดยมี 2-โพธพานอล เป็นตัวทำละลาย พบว่า รูปแบบ XRD ของผงบิสมัชوانาเดต มีโครงสร้างแบบ โนโนคลินิกและเตตระโภนอล เมื่อเปรียบเทียบกับข้อมูลมาตรฐาน Joint Committee on Powder Diffraction Standards (JCPDS) หมายเลข 14-0688 และ 14-0133

จากการวิจัยของ Naoya Murakami และคณะ^[46] ศึกษาการเตรียมผงบิสมัชوانาเดต โดยวิธีไนโตรเทอร์มอล สารตั้งต้นที่ใช้ คือ บิสมัชไนเทรต เพนตะไไซเดรต ($\text{Bi}(\text{NO}_3)_3 \cdot 5\text{H}_2\text{O}$) และ แอมโมเนียมแมทวานาเดต (NH_4VO_3) และมีการเตรียมผงบิสมัชوانาเดตโดยผสมกับซิลิกา พบว่า ตัวอย่างของผงบิสมัชوانาเดตที่ผสมกับซิลิกามีลักษณะ โครงสร้างเป็นโนโนคลินิกแบบซีไลท์ เมื่อเทียบกับ Joint Committee on Powder Diffraction Standards (JCPDS) หมายเลข 00-014-0688 ลักษณะ โครงสร้างที่เกิดขึ้นนี้ไม่เขียนกับปริมาณของซิลิกาที่ผสมเข้าไป ลักษณะอนุภาคของผงบิสมัชوانาเดตมีลักษณะเป็นทรงกลมขนาดใหญ่ประมาณ 100–1000 นาโนเมตร โดยมีอนุภาคของซิลิกาเกาะอยู่บริเวณผิวของผงบิสมัชوانาเดต ในส่วนของผงบิสมัชوانาเดตที่ไม่ได้ผสมกับซิลิกามีลักษณะ โครงสร้างเป็นแบบเตตระโภนอลแบบซีไลท์ เมื่อเทียบกับ Joint Committee on Powder Diffraction Standards (JCPDS) หมายเลข 01-083-1812

จากการทดลอง การเตรียมผงบิสมัชوانาเดตที่เตรียมได้โดยวิธีไนโตรเฟฟ ใช้กำลังไฟฟ้า 600, 700 และ 800 วัตต์ ที่เวลา 2, 4 และ 6 นาที เมื่อคำนวนหาเปอร์เซ็นต์ เฟสหรือวัสดุภาคของผงบิสมัชوانาเดต พบว่า ที่กำลังไฟฟ้า 600 และ 800 วัตต์ ที่เวลา 6 และ 4 นาที พบว่า มีเฟสหรือวัสดุภาคเป็นโนโนคลินิก และที่กำลังไฟฟ้า 700 วัตต์ ที่เวลา 4 นาที พบว่า ผงบิสมัชوانาเดต จะมีเฟสหรือวัสดุภาคโนโนคลินิกที่เด่นชัดกว่าเตตระโภนอล

การตรวจลักษณะสัมฐานวิทยาของผงบิสมัชوانาเดต โดยกล้องจุลทรรศน์อิเล็กตรอนแบบส่อง粒 (Scanning Electron Microscope, SEM)

การตรวจสอบลักษณะสัมฐานวิทยาของผงบิสมัชوانาเดต ที่เตรียมได้โดยวิธีไมโครเวฟ ใช้กำลังไฟฟ้า 600, 700 และ 800 วัตต์ ที่เวลา 2, 4 และ 6 นาที ในอัตราส่วนโดยไมลของบิสมัชในเทรต:แอมโมเนียมวนานาเดต เท่ากับ 1:1 โดยมี 2-โพրพานอล เป็นตัวทำละลาย พบร่วงบิสมัชوانาเดต มีลักษณะเป็นผงที่ละเอียด มีรูปร่างที่ไม่แน่นอนค่อนข้างเกากลุ่มกันเป็นก้อน มีขนาดอนุภาคเฉลี่ยอยู่ระหว่าง 0.1-0.3, 0.3-0.6 และ 0.7-1.2 ไมโครเมตร ตามลำดับ

จากการวิจัยของ Elisabeth G และคณะ^[47] ศึกษาการเตรียมผงบิสมัชوانาเดต โดยวิธีการผสมออกไซซ์ (oxide mixing) สารตั้งต้นที่ใช้คือ บิสมัชออกไซด์ (Bi_2O_3) และวนาเดียม เพนทอกไซด์ (V_2O_5) ได้จากการสังเคราะห์โดยวิธีตกตะกอนร่วม (Co-precipitation) สารตั้งต้นที่ใช้คือ บิสมัชในเทรต เพนตะไฮเดรต ($\text{Bi}(\text{NO}_3)_3 \cdot 5\text{H}_2\text{O}$) และแอมโมเนียม เมทาวนานาเดต (NH_4VO_3) และวิธีไฮโดรเทอร์มอล สารตั้งต้นที่ใช้ คือ บิสมัชในเทรต เพนตะไฮเดรต ($\text{Bi}(\text{NO}_3)_3 \cdot 5\text{H}_2\text{O}$) และแอมโมเนียม เมทาวนานาเดต ($\text{NaVO}_3 \cdot \text{H}_2\text{O}$) ผงบิสมัชوانาเดตที่สังเคราะห์จากวิธีออกไซด์ผสมและวิธีตกตะกอนร่วม มีลักษณะโครงสร้างเป็นโนโนคลินิกแบบเซิลท์ ขนาดอนุภาคมีค่าประมาณ 5 ไมโครเมตร ส่วนผงบิสมัชوانาเดตที่สังเคราะห์โดยวิธีไฮโดรเทอร์มอล มีลักษณะโครงสร้างเป็นโนโนคลินิกแบบเซอร์คอล ขนาดอนุภาคมีค่าประมาณ 1–5 ไมโครเมตร

จากการทดลอง การเตรียมผงบิสมัชوانาเดตที่เตรียมได้โดยวิธีไมโครเวฟ ใช้กำลังไฟฟ้า 600, 700 และ 800 วัตต์ ที่เวลา 2, 4 และ 6 นาที เมื่อเวลาในการทำปฏิกิริยาเพิ่มขึ้น ขนาดอนุภาคของผงบิสมัชوانาเดตมีค่าเพิ่มขึ้น

การตรวจสอบหมู่ฟังก์ชันของผงบิสมัชوانาเดต โดยเครื่องฟูเรียร์ทرانสฟอร์มอินฟราเรด สเปกโถร์มิตอร์ (Fourier Transform Infrared Spectroscopy, FITR)

การตรวจหาองค์ประกอบทางเคมีของผงบิสมัชوانาเดต ที่เตรียมได้โดยวิธีไมโครเวฟ ใช้กำลังไฟฟ้า 600, 700 และ 800 วัตต์ ที่เวลา 2, 4 และ 6 นาที ในอัตราส่วนโดยไมลของบิสมัชในเทรต:แอมโมเนียมวนานาเดต เท่ากับ 1:1 โดยมี 2-โพรพานอลเป็นตัวทำละลาย พบร่วงบิสมัชوانาเดต มีการสั่นแบบ bending ของพันธะ Bi-O ในช่วงเลขคู่ 498–502, 515–531 และ 515–533 ต่อเซนติเมตร ตามลำดับ การสั่นแบบ stretching VO_4^{3-} ในช่วงเลขคู่ 746–762, 768–775 และ 757–794 ต่อเซนติเมตร ตามลำดับ และในช่วงเลขคู่ 1390–1800 ต่อเซนติเมตร เป็นการสั่นแบบ stretching ของพันธะ N=O

จากผลการทดลอง การเตรียมผงบิสมัชوانาเดตที่เตรียมได้โดยวิธีไนโครเวฟ ใช้กำลังไฟฟ้า 600, 700 และ 800 วัตต์ ที่เวลา 2, 4 และ 6 นาที เมื่อกำลังวัตต์ไฟฟ้าคงที่ เวลาในการทำปฏิกิริยาเพิ่มขึ้น การสั่นของพันธะ $\text{Bi}-\text{O}$ และ VO_4^{3-} ในโมเลกุลของผงบิสมัชوانาเดต มีค่าการสั่นที่ลดลง

การตรวจหาองค์ประกอบทางเคมีของผงบิสมัชوانาเดต โดยเครื่องวัดการกระจายพลังงานสเปกโทรมิเตอร์ (Energy dispersive X-ray Diffractometer)

การตรวจหาองค์ประกอบทางเคมีของผงบิสมัชوانาเดต ที่เตรียมได้โดยวิธีไนโครเวฟ ใช้กำลังไฟฟ้า 600, 700 และ 800 วัตต์ ที่เวลา 2 และ 6 นาที ในอัตราส่วนโดยโมลของบิสมัชไนเตรต: แอมโมเนียมวานาเดย์เท่ากับ 1:1 โดยมี 2-โพรพานอล เป็นตัวทำละลาย พบว่า มีองค์ประกอบของชาตุ ได้แก่ ชาตุบิสมัช วานาเดย์ และออกซิเจน โดยระดับพลังงานของบิสมัช M_{α} เท่ากับ 2.42 และ 3.19 กิโลอิเล็กตรอนโวลต์ มีระดับพลังงาน L_{γ} เท่ากับ 9.42 กิโลอิเล็กตรอนโวลต์ มีระดับพลังงาน L_{α} เท่ากับ 10.8 กิโลอิเล็กตรอนโวลต์ และมีระดับพลังงาน L_{β} เท่ากับ 13.0 กิโลอิเล็กตรอนโวลต์ ที่ระดับพลังงานของวานาเดย์ K_{α} เท่ากับ 4.95 กิโลอิเล็กตรอนโวลต์ และที่ระดับพลังงานของออกซิเจน K_{α} เท่ากับ 0.52 กิโลอิเล็กตรอนโวลต์ ซึ่งมีผลการทดลองสอดคล้องกับงานวิจัยของ P. Pookmanee และคณะ^[42]

การศึกษาปฏิกิริยาไฟโตแคตาไลติกส์การสลายตัวของสารละลายนมทโซมิลโดยผงบิสมัชوانาเดต จากเครื่องไนโครมาโทกราฟของเหลวสมรรถนะสูง

การศึกษาปฏิกิริยาไฟโตแคตาไลติกส์การสลายตัวของสารละลายนมทโซมิลโดยผงบิสมัชوانาเดต ที่เตรียมได้โดยวิธีไนโครเวฟ ใช้กำลังไฟฟ้า 600 วัตต์ ที่เวลา 2 และ 6 นาที ในอัตราส่วนโดยโมลของบิสมัชไนเตรต: แอมโมเนียมวานาเดย์เท่ากับ 1:1 พบว่า เมื่อเพิ่มเวลาในการทำปฏิกิริยาไฟโตแคตาไลติกส์ด้วยแสงวิสิเบิลจะทำให้ค่า C/C_0 ของสารละลายนมทโซมิลลดลง ในช่วงเวลา 30-120 นาที การสลายตัวของสารละลายนมทโซมิลโดยการฉายแสงวิสิเบิล โดยปราศจากผงบิสมัชوانาเดต มีประสิทธิภาพการสลายตัวของสารละลายนมทโซมิล เท่ากับ 3.47 เปอร์เซ็นต์ การสลายตัวของสารละลายนมทโซมิล โดยผงบิสมัชوانาเดตที่ได้จากการเตรียมโดยวิธีไนโครเวฟ ที่กำลังไฟฟ้า 600 วัตต์ เวลา 2 นาที ปริมาณ 0.1000 กรัม มีประสิทธิภาพในการสลายตัวของสารละลายนมทโซมิล ในเวลา 120 นาที เท่ากับ 12.04 เปอร์เซ็นต์ และผงบิสมัชوانาเดตที่ได้จากการเตรียมโดยวิธีไนโครเวฟ ที่กำลังไฟฟ้า 600 เวลา 6 นาที ปริมาณ 0.1000 กรัม มีประสิทธิภาพในการสลายตัวของสารละลายนมทโซมิล ในเวลา 120 นาที เท่ากับ 6.48 เปอร์เซ็นต์ ตามลำดับ

จากการวิจัย S. Malato และคณะ^[48] ได้ทำการศึกษาการใช้ปฏิกิริยาฟอโตแคต้าไอลิติกส์ในน้ำที่มียาฆ่าแมลงปนเปื้อนอยู่โดยประกอบด้วย ไดยูรอน (diuron) อิมิดาโคลพрид (imidacloprid) ฟอร์เมทานेट (formetanate) และ เมทโซมิล (methomyl) อาศัยจากพลังงานแสงอาทิตย์ ร่วมกับการใช้ฟอโตเฟนตอน (Photo-Fenton)(homogeneous photocatalysis) และ ไทดานเนียมไกออกไซด์ (TiO_2) (heterogeneous photocatalysis) ทดสอบโดยใช้ความเข้มข้นของ ฟอโตแคต้าลิสต์ เท่ากับ 0.05 มิลลิโตรลาร์ และ 200 มิลลิกรัมต่อลิตร ตามลำดับ พบว่าการถลายตัวของยาฆ่าแมลงที่ปนเปื้อนในน้ำมีลำดับดังนี้ formetanate > imidacloprid > diuron > methomyl (กรณีตัวแคต้าลิสต์ที่ใช้คือ photo-Fento) และ diuron > methomyl > imidacloprid > formetanate (กรณีตัวแคต้าลิสต์ที่ใช้คือ TiO_2)

การหาปริมาณเมทโซมิลที่ปนเปื้อนในแหล่งน้ำธรรมชาติ โดยเครื่องໂຄຣມາໂທກຣາຟຂອງເໜວສນຣອນະສູງ

จากการทดสอบหาปริมาณเมทโซมิล ในตัวอย่างน้ำธรรมชาติจากแหล่งน้ำ 3 แหล่ง โดยเครื่องໂຄຣມາໂທກຣາຟຂອງເໜວສນຣອນະສູງ พบว่า ในตัวอย่างน้ำธรรมชาติจากแหล่งน้ำทั้ง 3 แหล่ง ได้แก่ คลองชลประทาน นาข้าว และแม่น้ำผัก พบร่วมกัน 3 แหล่ง น้ำธรรมชาติที่น้ำอยกว่าขีดจำกัดในการตรวจพบ โดยเครื่องໂຄຣມາໂທກຣາຟของເໜວສນຣອນະສູງ เนื่องจากช่วงระยะเวลาในการเก็บตัวอย่างน้ำ อยู่ระหว่างหลังการเก็บเกี่ยว และเตรียมดินสำหรับการเพาะปลูกครั้งไป ซึ่งการทำน้ำน้ำ มีขั้นตอนสำคัญดังนี้ การเตรียมดิน การปลูก การเก็บเกี่ยว การนวดข้าว และการเก็บรักษาหลังจากการปลูกและข้าวออกดอกหรือออกผลประมาณ 20 วัน ช่วงนี้จะระบายน้ำออก จึงทำให้ตรวจพบปริมาณเมทโซมิลในปริมาณที่ต่ำ ดังนั้นในการทดลองครั้งนี้จำไม่ได้ศึกษาการถลายตัวของเมทโซมิลในน้ำธรรมชาติ ดังกล่าว

เอกสารอ้างอิง

- [1]. อัศวิน พิริยะ, การสลายตัวด้วยไฟโอดเคนทาไอลติกของสารประกอบกลอโรฟีนอล โดยใช้ถังปฏิกิริยาแบบเทที่มีการหมุนเวียน, วิทยานิพนธ์, คณะวิศวกรรมศาสตร์, มหาวิทยาลัยเชียงใหม่, 2543.
- [2]. สารพิษ [ออนไลน์] เข้าถึงจาก http://www.pcd.go.th/info_serv/en_pol_suc_school.html (สืบค้น 10 กันยายน 2557).
- [3]. ตารางปริมาณและมูลค่าการนำเข้าสารกำจัดศัตรูพืช ปี 2551 -2555 [ออนไลน์] เข้าถึงจาก http://www.oae.go.th/ewt_news.php?nid=146 (สืบค้น 10 กันยายน 2557).
- [4]. ชีวะพัฒน์ อรรถพล ไพบูลย์, การคัดเลือกแบบที่เรียบง่ายสลายเมโทมิลจากดินบริเวณเพาะปลูก, วิทยานิพนธ์, บัณฑิตวิทยาลัย, มหาวิทยาลัยเชียงใหม่, 2547.
- [5]. กองจัดการสารอันตรายและการของเสีย, เมืองโซเม็ด, กรมควบคุมมลพิษ กระทรวงวิทยาศาสตร์เทคโนโลยีและสื่อสารมวลชน, 2541
- [6]. Shah, P. V., Monroe, R. J. and Guthrie, F. E., Comparative rates of dermal penetration of insecticides in mice. *Toxicol. Appl. Pharm.*, 1981, **59(3)**, 414-423.
- [7]. Kudo, A., Ueda K., Kato H. and Mikami I., Photocatalytic O₂ evolution under visible light irradiation on BiVO₄ in aqueous AgNO₃ solution. *Catal. Lett.*, 1998, **53**, 229-230.
- [8]. Kudo, A., Omori, K. and Kato, H., A novel aqueous process for preparation of crystal form-controlled and highly crystalline BiVO₄ powder from layered vanadates at room temperature and photophysical properties. *Chem. Soc.*, 1999, **121**, 11459-11467.
- [9]. Tokunaga, S., Kato, H. and Kudo, A., Selective preparation of monoclinic and tetragonal BiVO₄ with scheelite structure and their photocatalytic properties. *Chem. Mater.*, 2001, **13**, 4624-4628.
- [10]. <http://jsmchem.co.kr/msds/MSDS-YELLOW.doc> (accessed Sep 10, 2014)
- [11]. Shen, Y., Huang, M., Huang, Y., Lin, J., and Wu, J., The synthesis of bismuth vanadate powders and their photocatalytic properties under visible light irradiation. *J. Alloy. Comp.*, 2010, **496**, 287-292

- [12]. Bismuth vanadate. <http://spie.org/x35165.xml?pf=true&ArticleID=x35165>. (accessed Sep 10, 2014)
- [13]. Bismuth vanadate. <http://spie.org/x35165.xml?pf=true&ArticleID=x35165>. (accessed Sep 10, 2014)
- [14]. Gotić, M., Music, S., Ivanda, M., Soufek, S. and Popovic, S., Synthesis and characterization of bismuth (III) vanadate. *J. Mol. Struct.*, 2005, **744**, 535-540.
- [15]. Wood, P. and Glasser, F. P., Preparation and properties of pigmentary grade BiVO₄ precipitated from aqueous solution. *Ceram. Int.*, 2004, **30**, 875-882.
- [16]. Liu, J. B., Wang, H., Wang, H. and Yan, H., Hydrothermal preparation of BiVO₄ powder. *Mat. Sci. Eng. B-Solid.*, 2003, **104**, 36-39.
- [17]. Byrappa, K. and Yoshimura, M., Handbook of hydrothermal technology: a technology for crystal growth and materials processing, Noyes Publication, New York, 2001.
- [18]. Riman, R. A., Pugh, R. J. and Bergstrom, L., The chemical synthesis of ceramic powder; in surface and colloidal chemistry in advanced ceramics processing. *Marc. Dek. Inc.*, 1995, **22**, 2310-2313.
- [19]. Pecchi, G., Reyes, P., Sanhueza, P. and Villaseñor, J., Photocatalytic degradation of pentachlorophenol on TiO₂ sol-gel catalysts, *Chemosphere*, 2001, **43**, 141-146.
- [20]. การทำงานของเตาไมโครเวฟ [ออนไลน์] เข้าถึงจาก <http://www.rmutphysics.com/charud/specialnews/6/microwave1/index2.htm>. (สืบค้น 11 กันยายน 2557).
- [21]. กลไกการสร้างคลื่นไมโครเวฟ [ออนไลน์] เข้าถึงจาก <http://www.atom.rmutphysics.com/charud/specialnews/5/microwave/Microwave1.htm>. (สืบค้น 11 กันยายน 2557).
- [22]. กลไกการทำงานของไมโครเวฟ [ออนไลน์] เข้าถึงจาก <http://www.pleplejung.com/2011/12/>. (สืบค้น 11 กันยายน 2557).
- [23]. วรารณ์ ยังนิม, การสังเคราะห์และหาลักษณะเฉพาะของผงนาโนซิงค์ออกไซด์โดยวิธีซิเทรท, ปัญหาพิเศษวิทยาศาสตรบัณฑิต, คณะวิทยาศาสตร์, มหาวิทยาลัยแม่โจ้, 2549.
- [24]. เมทโซมิล [ออนไลน์] เข้าถึงจาก <http://suchons.wordpress.com/2013/02/20/> (สืบค้น 11 กันยายน 2557).

- [25]. สารป้องกันและกำจัดแมลง [ออนไลน์] เข้าถึงจาก http://www.puiyaonline.com/index.php?lay=show&ac=cat_showcat&l=1&cid=12882&page=4 (สืบค้น 11 กันยายน 2557).
- [26]. สารพิษ [ออนไลน์] เข้าถึงจาก <https://sites.google.com/site/detoxcleanze/home/sanpit.htm> (สืบค้น 11 กันยายน 2557).
- [27]. Methomyl. <http://www.foodnetworksolution.com/wiki/word/methomyl> (accessed Sep 12, 2014).
- [28]. กระบวนการ ไฟฟ้าแคตเตอร์ไอลิติกส์. <http://www.eng.ru.ac.th/envi/aj/EVE410/photocatalytic.pdf>. (accessed Sep 12, 2014).
- [29]. Photocatalytic. <http://sichon.wu.ac.th/file/envi-shh-20090110-112240-pwrqR.pdf>. (accessed Sep 12, 2014).
- [30]. Hayat, K., Gondal, M. A., Khaled, M. M. and Ahmed, S., Effect of operational key parameters on photocatalytic degradation of phenol using nano nickel oxide synthesized by sol-gel method, *J. Mol. Catal. A-Chem.*, 2011, **336**, 64-71.
- [31]. Tücks, A. and Beck, H. P., The photochromic effect of bismuth vanadate pigments. Part I: synthesis, characterization and lightfastness of pigment coatings. *J. Solid State Chem.*, 2005, **178**, 1145-1156.
- [32]. Photocatalytic. <http://www.titanpe.com/library/kb2501.htm>. (accessed Sep 12, 2014).
- [33]. Zhang, X., Ai, Z., Jia, F., Zhang, L., Fan, X. and Zou, Z., Selective synthesis and visible-light photocatalytic activities of BiVO₄ with different crystalline phases. *Mater. Chem. Phys.*, 2007, **103**, 162-167.
- [34]. Photocatalytic. http://puregreencoatings.com/pgc_science.aspx. (accessed Dec 12, 2011).
- [35]. Bhattacharya, A. K., Mallick, K. K. and Hartridge, A., Phase transition in BiVO₄. *Mater. Lett.*, 1997, **30**, 7-13.
- [36]. Zhou, Y., Vuille, K., Heel, A., Probst, B., Kontic, R. and Patzke, G.R. An inorganic hydrothermal route to photocatalytically active bismuth vanadate. *Appl. Catal. Gen.*, 2010, **375**, 140–148.

- [37]. Hirota, K., Komatsu, G., Yamashita, M., Takemura, H. and Yamaguchi, O. Formation, characterization and sintering of alkoxy-derived bismuth vanadate. *Mater. Res. Bull.*, 1992, **27**, 823-830.
- [38]. Liu, W., Yu, Y., Cao, L., Su, G., Liu, X., Zhang, L. and Wang, Y. Synthesis of monoclinic structured BiVO_4 spindly microtubes in deep eutectic solvent and their application for dye degradation. *J. Hazard. Mater.*, 2010. **181**, 1102–1108.
- [39]. Ren, L., Jin, L., Wang, J. -B., Yang, F., Qiu, M. -Q. and Yu, Y., Template-free synthesis of BiVO_4 nanostructures: I. Nanotubes with hexagonal cross sections by oriented attachment and their photocatalytic property for water splitting under visible light. *Nanotechnology*, 2009, **20(11)**, 5603.
- [40]. Zhang, H. M., Liu, J. B., Wang, H., Zhang, W. X. and Yan, H., Rapid microwave-assisted synthesis of phase controlled BiVO_4 nanocrystals and research on photocatalytic properties under visible light irradiation. *J. Nanopart. Res.*, 2008, **10(5)**, 767-774.
- [41]. Tomašević, A., Kiss, E., Petrović, S. and Mijin, D., Study on the photocatalytic degradation of insecticide methomyl in water. *Desalination*, 2010, **262**, 228-234.
- [42]. Pookmanee, P., Pingmuang, K., Phanichphant, S. and Kangwansupamonkon, W., Characterization of bismuth vanadate powder synthesized by hydrothermal method. *J. Micro. Soc. Thai.*, 2009, **23(1)**, 95-98.
- [43]. Tomašević, A., Daja, J., Petrović, S., Kiss, E. and Mijin, D., Study on the photocatalytic degradation of methomyl by uv light. *Chem. Ind. Chem. Eng. Q.*, 2009, **15(1)**, 17-19.
- [44]. Joint Committee on Powder Diffraction Standards (JCPDS). Powder Diffraction File, Card No. 14-0688, Swarthmore, PA.
- [45]. Joint Committee on Powder Diffraction Standards (JCPDS). Powder Diffraction File, Card No. 14-0133, Swarthmore, PA.
- [46]. Murakami, N., Takebe, N., Tsubota, T. and Ohno, T., Improvement of visible light photocatalytic acetaldehyde decomposition of bismuth vanadate/silica nanocomposites by cocatalyst loading. *J. Hazard. Mater.*, 2012. **211–212**, 83–87.
- [47]. Linden, E.G., Malta, L.F.B. and Medeiros, M.E. Evaluation of synthetic routes to pigmentary grade bismuth vanadate. *Dyes Pigments*, 2011. **90**, 36–40.

- [48]. Malato, S., Blanco, J., Cáceres, J., Fernández-Alba, A.R., Agüera, A. and Rodríguez, A., Photocatalytic treatment of water-soluble pesticides by photo-Fenton and TiO₂ using solar energy. *Catal. Today*, 2002. **76**, 209–220.

